



ศึกษาวงจรอสซิลเลเตอร์แบบโคลพิตต์ ความถี่ 35 MHz

Study the 35 MHz – Colpitts Oscillator Circuit

นายพรชัย แป้นเพชร

รหัส 46361697

นายณัฐวุฒิ สัตยาภิรานนนท์

รหัส 46363172

ห้องสมุดคณวิศวกรรมศาสตร์
25 พ.ศ. 2553
วันที่รับ...../...../.....
เลขทะเบียน.....
เลขเรียกหนังสือ.....
มหาวิทยาลัยแม่ฟ้า ๑๔ ๒๓๑๐๖

๒๕๘๐

ปริญญา呢พนนีเป็นส่วนหนึ่งของการศึกษาหลักสูตรปริญญาวิศวกรรมศาสตรบัณฑิต
สาขาวิศวกรรมไฟฟ้า ภาควิชาฯ วิศวกรรมไฟฟ้าและคอมพิวเตอร์
คณะวิศวกรรมศาสตร์ มหาวิทยาลัยแม่ฟ้า
ปีการศึกษา 2550



ใบรับรองโครงการวิศวกรรม

หัวข้อโครงการ	การศึกษาวงจรอสซิลเลเตอร์แบบโคลพิตต์ ความถี่ 35 MHz		
ผู้ดำเนินโครงการ	นายพรชัย	แม่นเพชร	รหัส 46361697
	นายณัฐุติ	สัตยากิรานันท์	รหัส 46363172
อาจารย์ที่ปรึกษา	ดร. อัครพันธ์ วงศ์กังແນ		
สาขาวิชา	วิศวกรรมไฟฟ้า		
ภาควิชา	วิศวกรรมไฟฟ้าและคอมพิวเตอร์		
ปีการศึกษา	2550		

คณะวิศวกรรมศาสตร์ มหาวิทยาลัยนเรศวร อนุมัติให้ โครงการฉบับนี้เป็นส่วนหนึ่งของ
การศึกษาตามหลักสูตรวิศวกรรมศาสตรบัณฑิต สาขาวิชาวิศวกรรมไฟฟ้า

คณะกรรมการสอบโครงการวิศวกรรม

ประธานกรรมการ
(ดร. อัครพันธ์ วงศ์กังແນ)

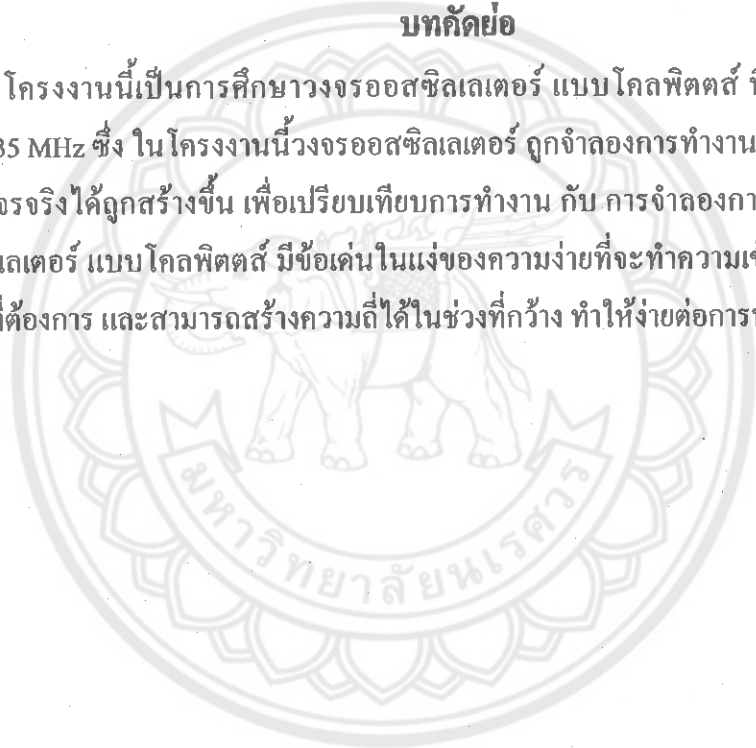
กรรมการ
(ผู้ช่วยศาสตราจารย์ ดร. สุรเชษฐ์ กานต์ประชา)

กรรมการ
(ดร. ชัยรัตน์ พินทอง)

หัวข้อโครงการ	ศึกษาวิธีการออกแบบซีลเดเตอร์แบบโคลพิตต์ ความถี่ 35 MHz		
ผู้ดำเนินโครงการ	นายพรชัย	แป้นเพชร	รหัส 46361697
	นายณัฐวุฒิ	สัตยานันท์	รหัส 46363172
อาจารย์ที่ปรึกษา	ดร.อัครพันธ์ วงศ์กังແນ		
สาขาวิชา	วิศวกรรมไฟฟ้า		
ภาควิชา	วิศวกรรมไฟฟ้าและคอมพิวเตอร์		
ปีการศึกษา	2550		

บทคัดย่อ

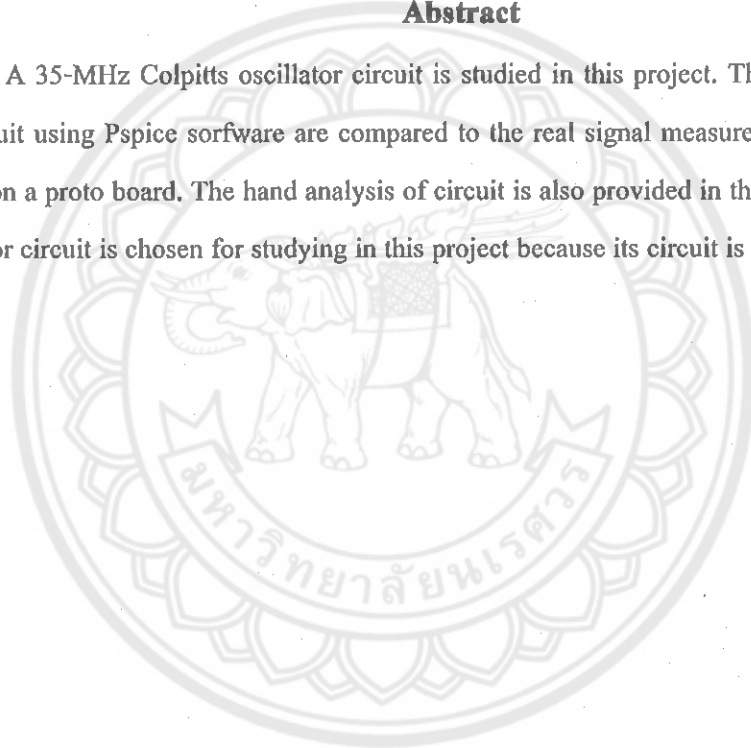
โครงการนี้เป็นการศึกษาวิธีการออกแบบซีลเดเตอร์แบบโคลพิตต์ ที่กำหนดสัญญาณไชน์ ความถี่ 35 MHz ซึ่ง ในโครงการนี้วงจรออกแบบซีลเดเตอร์ ถูกจำลองการทำงานด้วย โปรแกรม Pspice และ วงจรจริงได้ถูกสร้างขึ้น เพื่อเปรียบเทียบการทำงาน กับ การจำลองการทำงาน สำหรับวงจรออกแบบซีลเดเตอร์แบบโคลพิตต์ มีข้อเด่นในเรื่องความง่ายที่จะทำความเข้าใจ ง่ายต่อการจูนหา ความถี่ที่ต้องการ และสามารถสร้างความถี่ได้ในช่วงที่กว้าง ทำให้ง่ายต่อการนำมาศึกษา



Project title	Study the 35 MHz – Colpitts Oscillator Circuit		
Name	Mr. Ponchai Panpet		ID. 46361697
	Mr. Natthawut Sattayapirananon		ID. 46363172
Project advisor	Dr. Akaraphunt Vongkunghae		
Major	Electrical Engineering		
Department	Electrical and Computer Engineering		
Academic year	2007		

Abstract

A 35-MHz Colpitts oscillator circuit is studied in this project. The simulated signals of the circuit using Pspice software are compared to the real signal measurements of a hand make circuit on a proto board. The hand analysis of circuit is also provided in this project. The Colpitts oscillator circuit is chosen for studying in this project because its circuit is easy to understand and build.



กิตติกรรมประกาศ

การที่โครงงานนี้สำเร็จลุล่วงไปด้วยดีทางผู้จัดทำไดร์บ์ขอแสดงความขอบพระคุณเป็นอย่างสูงต่ออาจารย์ที่ปรึกษาโครงงาน ดร.อัครพันธ์ วงศ์กังແหม ดร.ชัยรัตน์ พินทอง และ ผู้ช่วยศาสตราจารย์ ดร.สุรเชษฐ์ กานต์ประชา อาจารย์ประจำภาควิชาศึกษาฯ ไฟฟ้าและคอมพิวเตอร์ คณะศึกษาฯ มหาวิทยาลัยนเรศวร ที่ได้กรุณาแนวความคิด ช่วยเหลือแนะนำแนวทางในการทำโครงงาน ตลอดจนกรุณารอเชิญเพื่อเอกสารต่างๆที่เกี่ยวข้องกับโครงงานนี้อีกทั้งช่วยแนะนำแหล่งข้อมูลในการค้นคว้าข้อมูลเพิ่มเติม ทำให้เป็นประโยชน์ต่อการทำโครงงานของผู้จัดทำเป็นอย่างมาก

คณะผู้จัดทำโครงงาน

นายพรชัย แป้นเพชร

นายณัฐุุษิ สัตยาภิวนานนท์



สารบัญ

หน้า

ใบรับรอง โครงการวิจัย	ก
บทคัดย่อภาษาไทย	ข
บทคัดย่อภาษาอังกฤษ	ค
กิตติกรรมประกาศ	ง
สารบัญ	ด
สารบัญคำราช	ฉ
สารบัญรูป	ช
บทที่ 1 บทนำ	1
1.1 ความเป็นมาและความสำคัญของโครงการ	1
1.2 วัตถุประสงค์ของโครงการ	1
1.3 ขอบข่ายของโครงการ	1
1.4 ขั้นตอนการดำเนินโครงการ	2
1.5 ผลที่คาดว่าจะได้รับ	2
1.6 รายละเอียดงบประมาณตลอดโครงการ	2
บทที่ 2 หลักการและทฤษฎี	3
2.1 วงจรไบแอดส์แบบแบ่งแรงดันไฟฟ้า	3
2.1.1 การวิเคราะห์วงจรไฟกราฟแสตตร์	4
2.1.2 การวิเคราะห์วงจรไฟกราฟแสสลับ	5
2.2 วงรออสซิลเลเตอร์	7
2.3 ออสซิลเลเตอร์สัญญาณรูปไซน์แบบ LC (LC Sine-Oscillator)	9
2.3.1 การวิเคราะห์ด้วยผลรวมของอินพีเดนซ์	10
บทที่ 3 การวิเคราะห์วงจร	17
3.1 การวิเคราะห์วงจรรออสซิลเลเตอร์ 35 MHz โดยการคำนวณมือ	17
3.1.1 การวิเคราะห์ไฟตรอง	18
3.1.2 การวิเคราะห์ไฟสลับ	21
3.2 การวิเคราะห์วงจรรออสซิลเลเตอร์ 35 MHz ด้วยโปรแกรม PSpice	24
3.2.1 นำ้งงเรเข้าไปวิเคราะห์ในโปรแกรม	25

สารบัญ(ต่อ)

	หน้า
3.2.2 กำหนด Analysis Setup	26
3.2.3 พิจารณาค่า Bias Voltage และ Current	27
3.2.4 พิจารณาลักษณะสัญญาณที่ R_s	29
3.3 การปรับแต่งวงจร	29
3.3.1 ผลกระทบของค่า g_m	29
3.3.2 ความถี่ในการออสซิลเลต	30
บทที่ 4 การทดสอบ	33
4.1 จุดประสงค์	33
4.2 อุปกรณ์และเครื่องมือวัด	33
4.3 วิธีทำการทดสอบ	34
4.4 ผลการทดสอบ	35
บทที่ 5 วิเคราะห์และสรุปผลการทดสอบ	40
5.1 การวิเคราะห์สัญญาณเพื่อเชิงบวกการทำงานของวงจรออสซิลเลเตอร์	40
5.2 สรุปผล	47
5.3 ข้อเสนอแนะ	48
เอกสารอ้างอิง	50
ภาคผนวก	51
ประวัติผู้ทำโครงการ	

สารบัญตาราง

ตารางที่	หน้า
1.1 แผนการศึกษาโครงการ	2
4.1 แรงดันที่วัดได้จากโนดต่างๆ	35
5.1 การวิเคราะห์ค่าไฟกระแสตรง	40



สารบัญรูป

รูปที่	หน้า
2.1 วงจรไบแอดแบบแบ่งแรงดันไฟฟ้า	3
2.2 วงจรเทียบเคียงวงจรเทวินิน	4
2.3 วิเคราะห์วงจรเทียบเคียงวงจรเทวินิน	4
2.4 วงรสวนมูลแบบ ไฮบริด π ไม่เดล ของทรานซิสเตอร์ สำหรับสัญญาณขนาดเล็ก	5
2.5 บล็อกไซอะแกรนของวงจรอสซิลเลเตอร์แบบพื้นฐาน	7
2.6 LC ออสซิลเลเตอร์แบบใช้วงจร $V \rightarrow I$ ร่วมกับอินพีడenซ์ 3 ตัว	10
2.7 การตัดคุณภาพของวงจรใน รูปที่ 2.6 เพื่อวิเคราะห์ความสามารถของคุณภาพ	11
2.8 LC ออสซิลเลเตอร์แบบของโคลัพิตต์ส์ในอุตุนิคติ	12
2.9 การจัดรูปใหม่ของ LC ออสซิลเลเตอร์แบบโคลัพิตต์ส์	14
2.10 วงรสวนมูลของ LC ออสซิลเลเตอร์ของรูปที่ 2.9	15
3.1 วงรดต้นแบบ	17
3.2 วงรสำหรับวิเคราะห์ไฟครั้ง	18
3.3 วงรสำหรับหา V_B	18
3.4 แสดงวงจรอสซิลเลเตอร์ที่นำໄไปประมวลผลกับโปรแกรม PSpice	25
3.5 แสดงวงจรอสซิลเลเตอร์	26
3.6 แสดงการกำหนดชนิดการวิเคราะห์	26
3.7 แสดงการกำหนดค่าพารามิเตอร์ของการวิเคราะห์แบบ Transient	27
3.8 แสดงค่า Bias Voltage ของวงจร	27
3.9 แสดงค่า Bias Current ของวงจร	28
3.10 แสดงลักษณะสัญญาณที่ R_s	29
3.11 แสดงลักษณะสัญญาณทางเวลาที่เกิดขึ้นที่ R_s หลังได้รับการเพิ่มค่าเป็น $1M\Omega$	30
3.12 แสดงลักษณะสัญญาณทางความถี่ที่เกิดขึ้นที่ R_s หลังได้รับการเพิ่มค่าเป็น $1M\Omega$	30
3.13 วงจรอสซิลเลเตอร์ที่จะนำไปสร้างจริง	31
3.14 แสดงสัญญาณที่ได้จากการในรูปที่ 3.13	32
3.15 แสดงผลตอบสนองทางความถี่ ซึ่งมีความถี่ 35 MHz	32
4.1 แสดงวงจรที่ใช้ทดสอบ	34
4.2 สัญญาณที่วัดได้จาก R_s โดยที่มี $volt/div = 200mV$ และ $time/div = 100ns$	37

สารบัญรูป(ต่อ)

รูปที่

หน้า

4.3 สัญญาณที่วัดได้จาก R_s โดยที่มี volt/div = 200mV, time/div = 100ns และแสดงสัญญาณในช่วงความถี่ ที่ 35 MHz	37
4.4 สัญญาณที่วัดได้จาก R_s โดยที่มี volt/div = 200mV และ time/div = 10	38
4.5 สัญญาณที่วัดได้จาก R_s โดยที่มี volt/div = 200mV และ time/div = 5n	38
4.6 สัญญาณที่วัดได้จาก R_s โดยที่มี volt/div = 200mV time/div = 10ns และได้กำจัดสัญญาณรบกวนออกไป โดยการวัดค่าเฉลี่ยของสัญญาณ	39
5.1 แสดงวงจรอัซซิเดเตอร์ที่สมบูรณ์	40
5.2 แสดงสัญญาณแรงดันที่ตัวเก็บประจุ C2	41
5.3 แสดงสัญญาณแรงดันที่ตัวเก็บประจุ C4	42
5.4 แสดงสัญญาณแรงดันที่ตัวเก็บประจุ C2 และ C4	43
5.5 แสดงสัญญาณกระแสที่ตัวด้านทาน R2	44
5.6 แสดงสัญญาณกระแสที่ตัวด้านทาน RC	45
5.7 แสดงวงจรเส้นเชื่อมต่อที่ทราบชีสิเตอร์ยังไม่ทำงาน และแสดงลักษณะการไฟดูของกระแส	46
5.8 แสดงลักษณะสัญญาณที่เปลี่ยนแปลงไปตามการทำงานของอุปกรณ์ในวงจร	47
5.9 แสดงค่าความถี่ที่วัดได้จากวงจรริง	48
5.10 สัญญาณที่วัดได้จาก R_s ที่มีลักษณะสัญญาณใช้น้ำที่เปลี่ยนไปทางขวา	49
5.11 แสดงสัญญาณรบกวนที่เกิดขึ้นจากการใช้ตัวเหนี่ยวนำ habitats ตัวมาต่อ กัน	50

บทที่ 1

ນຳ

1.1 ความเป็นมาและความสำคัญของงาน

อุปกรณ์ในการสื่อสาร โทรคมนาคม เครื่องมือวัสดุทางการแพทย์ และอุปกรณ์อื่นๆอีก
มาก many ส่วนใหญ่จะเกี่ยวข้องกับกลุ่มงานธารอเล็กทรอนิกส์ซึ่งงานธารอเล็กทรอนิกส์เหล่านี้มัก
ประกอบไปด้วยวงจรกำเนิดสัญญาณ หรือ วงจรรօอสซิลเลเตอร์ และสัญญาณความถี่ต่างๆล้วนเกิด^{มา}
จากการออกแบบสร้างวงจรให้มีสัญญาณความถี่อุ กมาตามที่ต้องการ

ดังนั้น ทางคณะของผู้เสนอได้เล็งเห็นความสำคัญในส่วนนี้ จึงได้ทำการศึกษาว่างาน
ขอสิทธิ์แลเทอร์ แบบโคลพิตค์ส 35 MHz ซึ่งเป็นวงจรที่สามารถนำไปประยุกต์ใช้งานการ
ปรับเปลี่ยนความถี่ให้ตรงตามความต้องการได้ง่าย

1.2 วัตถุประสงค์ของโครงงาน

- เพื่อศึกษาวงจรอสซิลเลเตอร์ แบบ โคลพิตต์ 35 MHz
 - เพื่อศึกษาวิธีการออกแบบวงจรอสซิลเลเตอร์ แบบ โคลพิตต์ 35 MHz
 - เพื่อศึกษาการทำงานของวงจรอสซิลเลเตอร์ แบบ โคลพิตต์ 35 MHz
 - เพื่อพัฒนาวงจรและนำไปใช้ในควบคุมอุปกรณ์ไฟฟ้าหรืออุปกรณ์อื่นๆ ได้

1.3 ขอบข่ายของโครงงาน

- ศึกษาส่วนค่างๆของวงจรอสซิลเดเตอร์
 - ศึกษาการทำงานของอสซิลเดเตอร์ แบบโคลพิตตัส 35 MHz
 - ศึกษาการออกแบบวงจรอสซิลเดเตอร์ แบบโคลพิตตัส 35 MHz
 - ออกแบบโครงสร้างของถุ่มกรณ์ชาร์ดแวร์
 - ทดลองและพัฒนาถุ่มกรณ์
 - สรุปผล

1.4 ขั้นตอนการดำเนินโครงการ

ตารางที่ 1.1 แผนการศึกษาโครงการ

กิจกรรม	เดือน – ปี/49				
	ม.ค.	ก.พ.	มี.ค.	เม.ย.	พ.ค.
1. ศึกษาคุณสมบัติต่างๆ ของทรายซิสเทอร์	↔				
2. ศึกษาการทำงานของออสซิลเลเตอร์ แบบ โคลพิตตส์ 35 MHz		↔			
3. ออกแบบออสซิลเลเตอร์ แบบ โคลพิตตส์ 35 MHz			↔		
4. พัฒนาอุปกรณ์			↔↔→		
5. สรุปผล					↔

1.5 ผลที่คาดว่าจะได้รับ

1. ความรู้และความเข้าใจเกี่ยวกับ
 - 1.1 ทรายซิสเทอร์
 - 1.2 การทำงานของวงจรออสซิลเลเตอร์ แบบ โคลพิตตส์
 - 1.3 ออกแบบออสซิลเลเตอร์ แบบ โคลพิตตส์
 - 1.4 การมอคูเลตส์ณูณ์
2. ฝึกการแก้ปัญหาที่เกิดขึ้นในการทำงาน
3. สามารถพัฒนาและนำไปประยุกต์ใช้กับอุปกรณ์ไฟฟ้าหรืออุปกรณ์อื่นๆ ได้
4. เพื่อให้ผู้ที่สนใจศึกษาและทำการพัฒนาต่อไป

1.6 รายละเอียดงบประมาณตลอดโครงการ

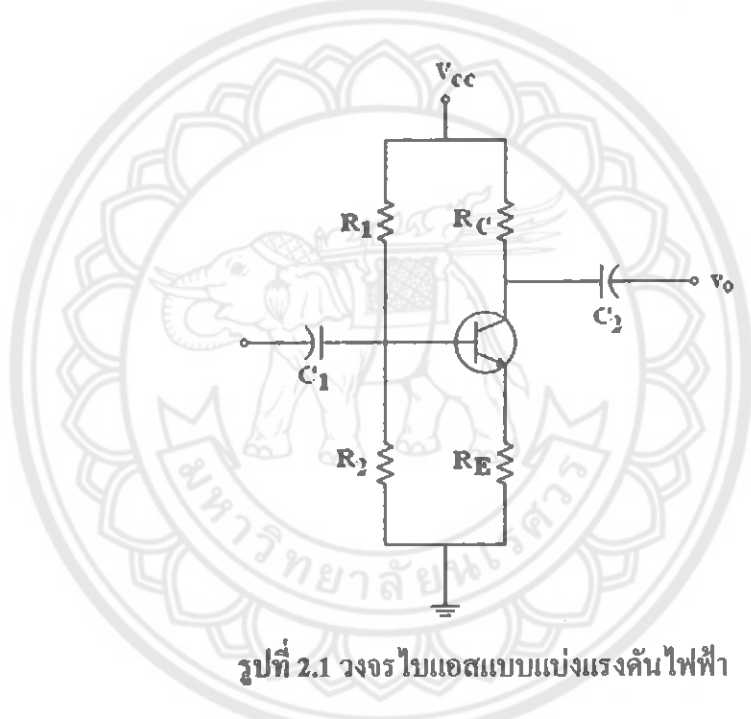
1. ค่าถ่ายเอกสารและค่าเข้าเล่น โครงการ 850 บาท
 2. ค่าแผ่นชีวี และ ค่าหมึกพิมพ์ 450 บาท
 3. ค่าเอกสารในการประกอบการทำโครงการ 700 บาท
- รวมเป็นเงิน 2,000 บาท (สองพันบาทถ้วน)

บทที่ 2

หลักการและทฤษฎี

2.1 วงจรไบแอดส์แบบแบ่งแรงดันไฟฟ้า

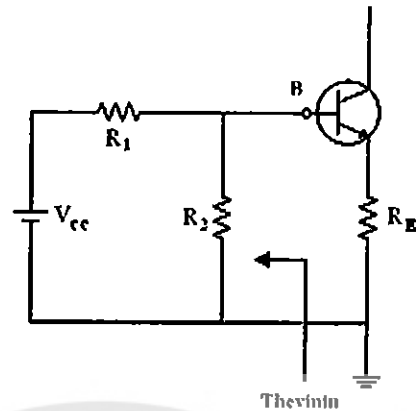
ในวงจรไบแอดส์ที่แบ่งแรงดันไฟฟ้า กระแสและแรงดันไบแอดส์ที่จุด Q คือ I_{CQ} และ V_{CE_0} เป็นพิพาร์ชันของอัตราขยายกระแส (β) ในทรานซิสเตอร์ แต่เนื่องจาก β ไม่ต่ออุณหภูมิโดยเฉพาะทรานซิสเตอร์ที่ทำจากซิลิคอน จึงไม่อาจกำหนดค่า β ให้เหมาะสมได้กับทุกสถานะที่ต้องการเสมอไป เราจึงเป็นต้องสร้างวงจรไบแอดส์ที่แยกค่า β ออกมาต่างหากได้วงจรดังกล่าวเรียกว่า วงจรไบแอดส์แบบแบ่งแรงดันไฟฟ้า



รูปที่ 2.1 วงจรไบแอดส์แบบแบ่งแรงดันไฟฟ้า

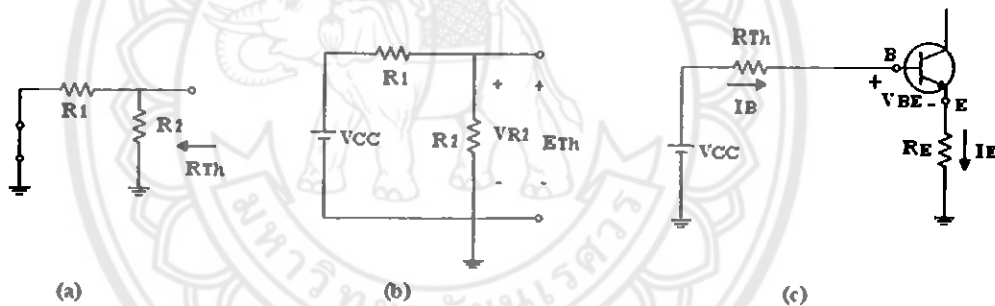
ถ้ากำหนดเงื่อนไขในวงจรไบแอดส์แบบแบ่งแรงดันไฟฟ้าได้อบ่างเหมาะสม ค่า I_{CQ} และ V_{CE_0} ของวงจรจะเป็นอิสระไม่ขึ้นอยู่กับค่า β ผลกระทบจากค่า β จึงลดลงมาก

2.1.1 การวิเคราะห์วงจรไฟกระแสตรง ด้านอินพุตในรูปที่ 2.1 นำมาเขียนวงจรได้ใหม่ดังนี้



รูปที่ 2.2 วงจรเทียบเคียงวงจรเทวินิน

เขียนวงจรเทียบเคียงเทวินินแทนส่วนด้านซ้ายของข้อ B ได้โดยการพิจารณาไปค้างนี้



รูปที่ 2.3 วิเคราะห์วงจรเทียบเคียงวงจรเทวินิน

หาค่า R_{TH} ด้วยการลัดวงจรที่แหล่งจ่าย V_{CC} ดังรูปที่ 2.2(a)

$$R_{TH} = R_1 \parallel R_2 \quad (2.1)$$

หาค่า R_{TH} ด้วยการต่อแหล่งจ่าย V_{CC} เข้าไปดังรูปที่ 2.16 (b) เมื่อนำกฎการแบ่งแรงดันไฟฟ้า
มาร่วมพิจารณา

$$E_{TH} = V_{R_2} = \frac{R_2 V_{CC}}{R_1 + R_2} \quad (2.2)$$

กระแสอัมปิลิเตอร์

$$I_E = \frac{V_B - V_T}{R_E} \left[\ln \left(\frac{I_E}{I_{ES}} + 1 \right) \right] \quad (2.3)$$

เมื่อค่า I_{ES} นั้นมีค่าระหว่าง 10^{-14} ถึง 10^{-16}

และ $V_T = 26mV$

$$\alpha = \frac{\beta_F}{1 + \beta_F} \quad (2.4)$$

เมื่อ ค่า β_F สามารถเลือกได้จากช่วง [50,500] สำหรับทรานซิสเตรอร์แบบ NPN

และ ค่า β_F สามารถเลือกได้จากช่วง [10,100] สำหรับทรานซิสเตรอร์แบบ PNP

กระแสคอกลเดกเตอร์

$$I_C = \alpha(-I_E) \quad (2.5)$$

กระแสเบส

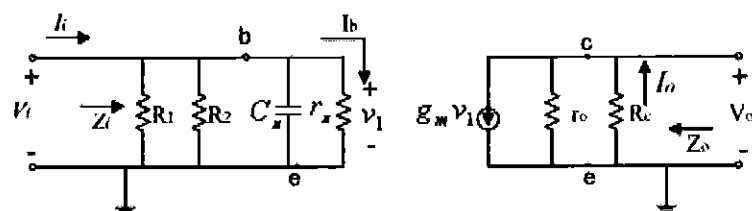
$$I_B = \frac{I_C}{\beta_F} \quad (2.6)$$

สำหรับสมการหาค่า V_{CE} ของวงจรไบแอดสัมิสเตรอร์ คือ

$$V_{CE} = V_{CC} - I_C(R_C + R_E) \quad (2.7)$$

2.1.2 การวิเคราะห์วงจรไไฟกระแสลับ

2.1.3



รูปที่ 2.4 วงจรสมบูรณ์แบบ ไอบริก π โนแมล ของทรานซิสเตรอร์ สำหรับสัญญาณขนาดเล็ก

พารามิเตอร์สำหรับวงจรสมดุลนี้ มีคังค่าไปนี้

Transconductance:

$$g_m = \frac{I_C}{V_T} \quad (2.8)$$

Input Resistance:

$$r_\pi = \frac{\beta_0}{g_m} \Big|_{\beta_0=\beta_F} \quad (2.9)$$

Output Resistance:

$$r_O = \frac{V_A}{I_C} \quad (2.10)$$

เมื่อ V_A คือ Early Voltage สามารถได้จากการเลือกค่าจากช่วง [15V,100V]

Base-Charging capacitance:

$$C_b = \tau_F g_m \quad (2.11)$$

โดยที่ τ_F คือ base transit time in the forward direction ซึ่งมีค่าตั้งแต่ 10 ถึง 500 ps สำหรับ
ทรานซิสเตอร์แบบ NPN และมีค่าตั้งแต่ 1 ถึง 40 ns สำหรับ ทรานซิสเตอร์แบบ PNP

Input capacitance:

$$C_\pi = C_b + C_{je} \quad (2.12)$$

Forward – active emitter – base junction depletion capacitance:

$$C_{je} \approx 2C_{je0} \quad (2.13)$$

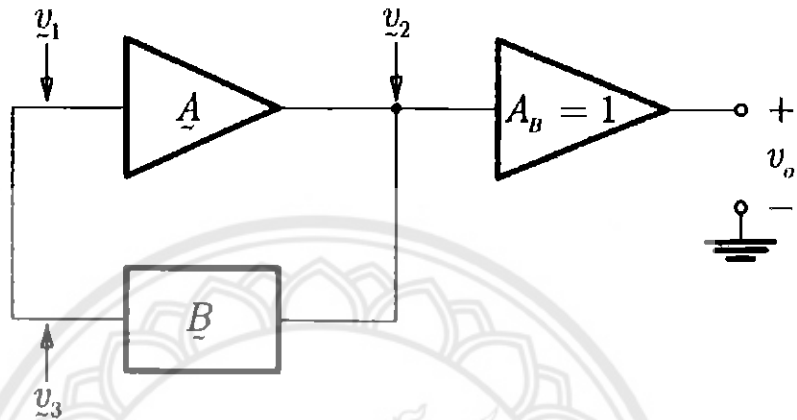
เมื่อ C_{je0} คือ B – E Zero – bias depletion capacitance สำหรับโมเดลใน PSpice มีค่า

2.2 วงจรอสซิลเลเตอร์

2.2.1 หลักการอสซิลเลเตอร์แบบสัญญาณรูปไข่

2.2.1.1 วงจรจะอสซิลเลเตอร์ เมื่อ มีการป้อนสัญญาณกลับแบบบวก (Positive Feedback)

2.2.1.2 วงจรพื้นฐาน



รูปที่ 2.5 บล็อกไซเดอร์แบบพื้นฐาน

2.2.1.3 ส่วนประกอบของวงจร มีดังนี้

1. วงจรขยายสัญญาณ มีอัตราขยายสัญญาณ กือ

$$A = Ae^{j\theta_A} \quad (2.14)$$

เมื่อ

A กือ ขนาดของสัญญาณ

θ_A กือ นุ่มเพสของสัญญาณที่เลื่อนไป

2. วงจรป้อนสัญญาณกลับ มี Transfer Function เป็น

$$B = Be^{j\theta_B} \quad (2.15)$$

เมื่อ

B กือ ขนาดของสัญญาณ

θ_B กือ นุ่มเพสของสัญญาณที่เลื่อนไป

(เครื่องหมาย ~ กือเครื่องหมายแสดงถึงจำนวนเชิงช้อน)

3. วงจร A_B เป็นวงจรบัฟเฟอร์ (Buffer) ซึ่งมีอัตราขยายเท่ากับหนึ่ง
- ทุก Block Diagram ข้างต้นนี้ มีอินพิเดนซ์อินพุตเป็นอนันต์และอินพิเดนซ์เอาต์พุตเป็นศูนย์
 - A, B, θ_A และ θ_B มีความสัมพันธ์กับความถี่เชิงมุม ω
 - สมมติให้ v_1 ณ จุดอินพุตของวงจรขยายสัญญาณ จะได้ v_2 ซึ่งเป็นสัญญาณค่านเอาต์พุตเท่ากับ

$$\underset{\sim}{v}_2 = A(\omega) \underset{\sim}{v}_1 \quad (2.16)$$

ส่วนสัญญาณป้อนกลับ v_3 จะมีความสัมพันธ์กับสัญญาณ v_2 เท่ากับ

$$\underset{\sim}{v}_3 = B(\omega) \underset{\sim}{v}_2 \quad (2.17)$$

เมื่อแทนค่า ในสมการ (2.17) ด้วยสมการ (2.16) แล้วจะได้

$$\underset{\sim}{v}_3 = \underset{\sim}{A}(\omega) \underset{\sim}{B}(\omega) e^{j[\theta_A - \theta_B]} \underset{\sim}{v}_1 \quad (2.18)$$

โดยที่ อัตราส่วน $\underset{\sim}{v}_3 / \underset{\sim}{v}_1$ คือ “ค่าขยายสัญญาณรอบวง หรือ ลูปเกน (Loop-gain)”แทนด้วย
สัญลักษณ์ LG

$$LG = A(\omega)B(\omega)e^{j[\theta_A(\omega) + \theta_B(\omega)]} \quad (2.19)$$

ที่สภาวะคงตัว (Steady-state) แล้ว นั่นคือ ลูปเกนเท่ากับหนึ่งตลอดเวลา ซึ่งเป็นเงื่อนไขการออสซิลเลต

ที่สภาวะดังกล่าว นั่นคือ

$$A(\omega)B(\omega)e^{j[\theta_A(\omega) + \theta_B(\omega)]} = 1 \quad (2.20)$$

เมื่อ ω แล้วเป็นใหม่ได้ว่า

$$AB \cos(\theta_A + \theta_B) + j[AB \sin(\theta_A + \theta_B)] = 1 \quad (2.21)$$

จากสมการ (2.20) จะเป็นได้ว่า

$$AB \cos(\theta_A + \theta_B) = 1 \quad (2.22)$$

และ

$$AB \sin(\theta_A + \theta_B) = 0 \quad (2.23)$$

ซึ่งสมการ (2.22) และสมการ (2.23) จะเป็นจริง เมื่อ

$$\theta_A(\omega) + \theta_B(\omega) = 2n\pi \quad (2.24)$$

โดย $n = 0, 1, 2, \dots$ และ

$$A(\omega)B(\omega) = 1 \quad (2.25)$$

สมการ (2.24) และสมการ (2.25) เป็นเงื่อนไขการออสซิลเลเตอร์ที่สภาวะคงตัว

2.3 ออสซิลเลเตอร์สัญญาณรูปไซน์แบบ LC (LC Sine-Oscillator)

ต่อจะกล่าวถึงออสซิลเลเตอร์ที่มีสัญญาณรูปไซน์ ซึ่งจะใช้ค่าความหน่วงนำไฟฟ้า (L) และค่าความจุไฟฟ้า (C) ร่วมกันในการกำหนดค่าความถี่ออสซิลเลเตอร์ลักษณะดังกล่าวนี้ จะเรียกว่า “LC ออสซิลเลเตอร์”

เหตุผลหลักที่เราสนใจจะใช้ LC ออสซิลเลเตอร์ เนื่องด้วยเสถียรภาพของความถี่จะง่ายกว่า RC ออสซิลเลเตอร์มาก โดยเฉพาะอย่างยิ่ง ในปัจจุบันเรามีความเข้าใจในกฎการณ์ของเฟสนาอยซ์ได้ดีขึ้น ทำให้เราสามารถออกแบบ LC ออสซิลเลเตอร์ให้มีเฟสนาอยซ์ต่ำมากโดยที่ค่า Q ประสิทธิผลของวงจร LC ที่มีค่าไม่สูงมากนักได้ เช่น มีค่า Q_{eff} ต่ำกว่า 10 ดังนั้น จึงเริ่มนิยมการประดิษฐ์วงจรสำหรับระบบสื่อสารต่าง ๆ เช่น โทรศัพท์เคลื่อนที่ โดยใช้ชิปเดียวได้ นอกจากราย

เสถียรภาพของความถี่ระบบปานกลางของ LC օอสซิลเลเตอร์ก็ยังจะดีกว่า RC օอสซิลเลเตอร์ด้วย และท้ายสุด เราจะสามารถออกแบบ LC օอสซิลเลเตอร์ให้ทำงานที่ความถี่สูง เช่น หลายร้อยเมกกะ เฮิรตซ์จนถึงหลายกิกะเฮิรตซ์ได้ง่ายกว่า RC օอสซิลเลเตอร์มาก

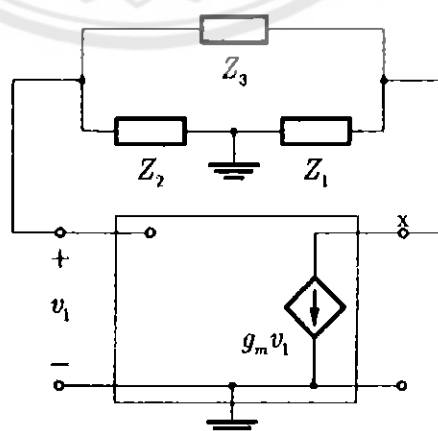
ส่วนข้อเสียเปรียบหลักของ LC օอสซิลเลเตอร์ก็คือ เราจะเปลี่ยนค่าความถี่ของการօอสซิลเลต โดยวิธีการทางอิเล็กทรอนิกส์ เช่น ควบคุมโดยแรงดันหรือกระแส ได้ยากกว่า RC օอสซิลเลเตอร์ และช่วงของการควบความถี่มักจะไม่สูงอย่างเช่นในกรณีของ RC օอสซิลเลเตอร์ อีกด้วย

ดังนั้น ในบทนี้ เราจะกล่าวถึง หลักการทำงาน การวิเคราะห์ และการออกแบบ LC օอสซิลเลเตอร์ที่ถูกต้องและอย่างละเอียด โดยเราเน้นกล่าวถึง LC օอสซิลเลเตอร์สมัยใหม่ และมีประสิทธิภาพการทำงานที่ดีเท่านั้น โดยในหัวข้อแรก ๆ เราจะกล่าวถึงเฉพาะประเภทต่าง ๆ ของ LC օอสซิลเลเตอร์ซึ่งมีคุณสมบัติของส่วนวงจรกัมมันต์เป็นไปตามอุปนคติเท่านั้น ในหัวข้อหลัง ๆ เราจะจะพิจารณา LC օอสซิลเลเตอร์ ในทางปฏิบัติที่มีคุณสมบัติของส่วนวงจรกัมมันต์เพียงไปจาก อุปนคติ โดยเฉพาะอย่างยิ่ง เมื่อความถี่มีค่าสูง

2.3.1 օอสซิลเลเตอร์แบบใช้อินพีเดนซ์สามตัว

กรณีในอุตุนคติ

รูปที่ 2.6 แสดง LC օอสซิลเลเตอร์แบบที่ได้รับความนิยมมากที่สุด ซึ่งในส่วนของวงจร มีองค์ประกอบด้วยอินพีเดนซ์สามตัว และในส่วนของวงจรกัมมันต์ เราจะพิจารณากรณีที่ใช้วงจรเปลี่ยนแรงดันมาเป็นกระแส หรือวงจรขยายสัญญาณแบบทรานส์ฟอร์มเดนซ์ ซึ่งเราราจะเรียกว่า ว่าเป็น วงจร $V \rightarrow I$



รูปที่ 2.6 LC օอสซิลเลเตอร์แบบใช้งาน $V \rightarrow I$ ร่วมกับอินพีเดนซ์ 3 ตัว

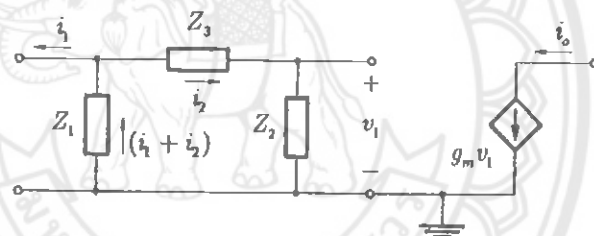
ในส่วนของวงจร $V \rightarrow I$ จะมีคุณสมบัติในอุปกรณ์ดังนี้ คือ

1. มีอิมพีเดนซ์ค้านเข้าเท่ากับอนันต์ ($Z_{in} = \infty$)
2. มีอิมพีเดนซ์ค้านออกเท่ากับอนันต์ ($Z_{out} = \infty$)
3. มีค่าทรานส์คอนดักเตนซ์ (Transconductance) หรืออัตราส่วนของกระแสค้านออกต่อแรงดันค้านเข้าเท่ากับ g_m
4. g_m จะไม่เปลี่ยนแปลงตามความถี่ นั่นคือ วงจร $V \rightarrow I$ มีแบบค์วิดท์กว้างมาก

จากการพิจารณาของวงจรใน รูปที่ 2.6 เราจะทำการตัดวงจร ณ จุด x เพื่อวิเคราะห์หาสมการของอุปแกน ซึ่งจะได้วงจรดัง รูปที่ 2.7

เราจะวิเคราะห์วงจรใน รูปที่ 2.7 เพื่อหาสมการของอัตราส่วนของ (i_o / i_i) ซึ่งมีทิศทางตามที่แสดง ในวงจรได้เท่ากับ

$$\frac{i_o(s)}{i_i(s)} = \frac{-g_m Z_1 Z_2}{(Z_1 + Z_2 + Z_3)} \quad (2.26)$$



รูปที่ 2.7 การตัดอุปของวงจรใน รูปที่ 2.6 เพื่อวิเคราะห์หาสมการของอุปแกน

ดังนั้น เมื่อการออสซิลเลตอยู่ในสภาพะคงตัว เราจะได้

$$\text{อุปแกน} = \frac{i_o(s)}{i_i(s)} = 1 \quad (2.27)$$

หรือเราอาจจะเขียนได้ว่าเงื่อนไขที่ออสซิลเลตอร์ดังกล่าวจะออสซิลเลตอยู่ในสภาพะคงตัว ก็ต่อเมื่อ

$$(Z_1 + Z_2 + Z_3) + g_m Z_1 Z_2 = 0 \quad (2.28)$$

ในขั้นตอนนี้ เราจะสมนตัวว่า $Z_1 = jX_1, Z_2 = jX_2, Z_3 = R_3 + jX_3$ ซึ่งเมื่อแทนค่าลงในสมการ (2.28) เราจะได้

$$j(X_1 + X_2 + X_3) + (R_3 - g_m X_1 X_2) = 0 \quad (2.29)$$

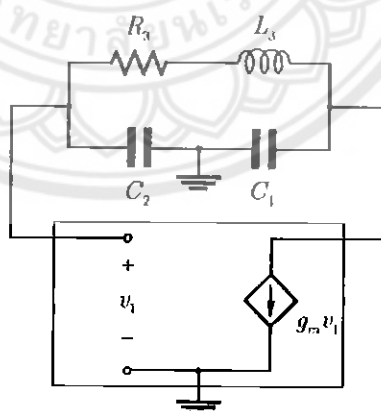
ซึ่งเมื่อเรานำส่วนจำนวนจริง และส่วนจำนวนเชิงจินตภาพมาให้เท่ากับศูนย์พร้อมกัน เราจะได้

$$X_1 + X_2 + X_3 = 0 \quad (2.30)$$

$$g_m = \frac{R_3}{X_1 X_2} \quad (2.31)$$

จากสมการ (2.31) เราจะเห็นได้ว่า เมื่อจาก g_m จะมีค่าเป็นบวกเสมอ ดังนั้น X_1 และ X_2 จะต้อง เป็นบวกเหมือนกันหรือลบเหมือนกันเสมอ นั่นคือ X_1 และ X_2 จะต้องเป็นรีแอคเตนซ์แบบ เดียวกัน ขณะเดียวกันเมื่อเราพิจารณาสมการ (2.30) เราจะเห็นได้ว่า X_3 จำเป็นจะต้องมีเครื่องหมาย ตรงข้ามกับ X_1 และ X_2 เสมอ เช่น ถ้า X_1 และ X_2 มีค่าเป็นลบทั้งคู่ X_3 จะมีค่าเป็นบวก ซึ่งในกรณีที่ $X_1 = -1/\omega C_1$, $X_2 = -1/\omega C_2$ และ $X_3 = \omega L_3$ จะเป็นกรณีของ “อสซิลเลเตอร์แบบของ โคลพิตต์ส์ (Colpitts LC oscillator)”

ในปัจจุบัน LC อสซิลเลเตอร์แบบของ โคลพิตต์ส์จะได้รับความนิยมมากกว่าแบบของ ชาร์ทเลีย์ เพราะใช้ความหนี่บาน้ำไฟฟ้าเพียงตัวเดียว ดังนั้น ถ้าเราพิจารณาในกรณีของ โคลพิตต์ส์ เราจะถือได้ว่า R_3 คือ ค่าความต้านทานของขดลวดในการสร้างตัวเหนี่ยวน้ำไฟฟ้า L_3 นั้นเอง และ เราจะเขียนวงจรของ LC อสซิลเลเตอร์แบบของ โคลพิตต์ส์ได้ดังเช่นใน รูปที่ 2.8



รูปที่ 2.8 LC อสซิลเลเตอร์แบบของ โคลพิตต์ส์ในอุณหภูมิ

ซึ่งเมื่อเราแทนค่า $X_1 = -1/\omega C_1$, $X_2 = -1/\omega C_2$ และ $X_3 = \omega L_3$ ลงในสมการ (2.30) เรา จะได้ความถี่เริ่มนุ่มนของการอสซิลเลต เท่ากับ

$$\omega_o = \frac{1}{\sqrt{L_3 C_r}} \quad (2.32)$$

โดย $C_r = (C_1 C_2) / (C_1 + C_2)$ คือค่าความจุไฟฟารวนจากการต่ออนุกรมกันของ C_1 และ C_2
และจากสมการ (2.31) เราจะได้ว่า

$$g_m = R_3 C_1 C_2 \omega_o^2 = \frac{R_3 (C_1 + C_2)}{L_3} \quad (2.33)$$

ซึ่งจะเป็นค่า g_m เมื่อการออสซิลเลตอยู่ในสภาพวงจรคัว และเพื่อให้ออสซิลเลเตอร์สามารถเริ่ม
ออสซิลเลตได้ ค่า g_m เริ่มต้นควรจะมีค่ามากกว่า $R_3 (C_1 + C_2) / L_3$ เท่านั้นอย เพราเมื่อระดับ
สัญญาณการออสซิลเลตสูงขึ้น ความไม่เป็นเชิงเส้นในวงจร V → I จะเริ่มนิพลด และทำให้ค่า g_m
ลดลง จนกระทั่งได้ตามเงื่อนไขของสมการ (2.33) ในที่สุด

และโดยทั่วไป ค่า Q ประสิทธิผลของวงจร LC จะมีค่าค่อนข้างสูง ดังนี้ เรายังคงไม่ต้อง¹
ใช้การจำกัดระดับของการออสซิลเลชันด้วยวิธีอื่นเพิ่มเติมอีก และแรงดันจากการออสซิลเลตใน
วงจรแทงค์ (Tank circuit) ของ LC จะมีลักษณะเป็นรูปไซน์ค่อนข้างบริสุทธิ์ เมื่อว่าลักษณะของ
กระแสที่ไหลผ่านวงจรกันมันต้องจะไม่เป็นรูปไซน์บริสุทธิ์ตาม โดยเฉพาะอย่างยิ่ง ในกรณีที่มี
ความไม่เป็นเชิงเส้นของ g_m มาจำกัดระดับของการออสซิลเลต

จากสมการ (2.32) เราจะเห็นได้ว่า ความถี่ ω_o ขึ้นอยู่เฉพาะกับค่า L_3 และ C_r เท่านั้น โดย
ไม่ขึ้นกับค่า R_3 เลย ดังนั้น จากทฤษฎีของกรรไห์แบบซี่ของวงจร LC เราจะเห็นได้ว่า สำหรับ
วงจรโอลิปิตต์ในที่นี้ ในส่วนของวงจรแทงค์จะทำหน้าที่เป็นวงจรริโอลิปต์แบบอนุกรม

2.3.1 การวิเคราะห์ด้วยผลรวมของอินพีดเคนซ์

ในหัวข้อนี้ เราจะยังพิจารณา LC ออสซิลเลเตอร์ในอุณหภูมิของ รูปที่ (2.8) อยู่ แต่เราจะ
วิเคราะห์ในอีกวิธีหนึ่งซึ่งเป็น วิธีการพิจารณาผลรวมของอินพีดเคนซ์ จะทำให้เราเข้าใจหลักการ
ทำงานของ LC ออสซิลเลเตอร์ที่เรากำลังพิจารณาอยู่นี้ได้ลึกซึ้งยิ่งขึ้นและบังทามาให้เกิดขึ้น และยังจะ²
ทำให้เกิดความเข้าใจในการออกแบบอีกด้วยประการหนึ่ง

เราจะยืนยัน LC ออสซิลเลเตอร์แบบโอลิปิตต์ใน รูปที่ (2.9) โดยการจัดรูปใหม่
เพื่อที่จะให้ได้จินตนาการการทำงานของวงจรที่แจ่มชัดขึ้น ดังเช่นที่แสดงในรูป รูปที่ (2.10)

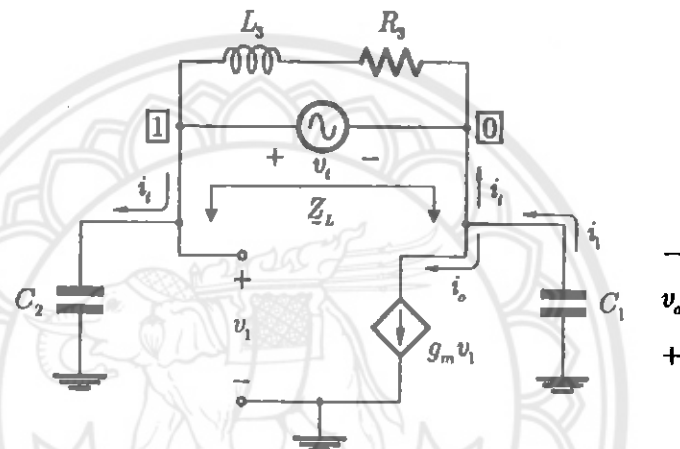
จากวงจรที่ได้จัดรูปใหม่แล้วนี้ เราจะจ่ายแรงดันทดสอบ $n, (s)$ ระหว่างจุด I และ จุด 0
โดยกระแสจาก $n, (s)$ ที่ไหลเข้าและออกจากรวงจรส่วนล่างจะเท่ากับ $i, (s)$ ซึ่งจากรูป ค่า

อิมพีเดนซ์ Z_L หมายถึง อิมพีเดนซ์ส่วนล่างของวงจร โดยตัวห้อง L ในที่นี้จะหมายความถึงคำว่า “Lower” แทนคำว่า “Left”

จากการตรวจพินิจวงจร เราจะเขียนได้ว่า

$$Z_L(s) = \frac{u_t(s)}{i_t(s)} \quad (2.34)$$

จากจุด 1 เราจะเห็นได้ว่า กระแส $i_t(s)$ จะไหลผ่าน C_2 ดังนั้น เราจะได้



รูปที่ 2.9 การจัดรูปใหม่ของ LC օอสซิลเลเตอร์แบบโกลพิตต์

$$u_t(s) = \frac{i_t(s)}{sC_2} \quad (2.35)$$

จากจุด 0 เราจะรวมกระแสได้เท่ากับ

$$i_t(s) = i_0(s) + i_i(s) \quad (2.36)$$

โดยทิศทางของ $i_t(s)$ จะไหลเข้าจุด 0 ดังนั้น แรงดัน $u_o(s)$ ที่ตอกคร่อม C_1 จะมีทิศทางดังเช่นที่แสดงในรูป ซึ่งเราจะเขียนสมการของ $u_o(s)$ ได้เป็น

$$u_o(s) = \frac{[i_t(s) + i_0(s)]}{sC_1} = \frac{[i_t(s) + g_m u_1(s)]}{sC_1} \quad (2.37)$$

เมื่อแทนค่า $u_1(s)$ ในสมการ (2.37) ด้วยสมการ (2.35) เราจะได้

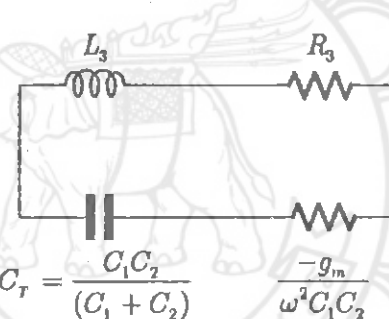
$$u_o(s) = \left(\frac{1}{sC_1} + \frac{g_m}{s^2 C_1 C_2} \right) i_t(s) \quad (2.38)$$

นอกจากนี้ จากการ เราขังจะเห็นได้ว่า

$$u_t(s) = u_1(s) + u_o(s) \quad (2.39)$$

ซึ่งจาก สมการ(39) และ (42) เราจะได้

$$u_t(s) = \left(\frac{1}{sC_2} + \frac{1}{sC_1} + \frac{g_m}{s^2 C_1 C_2} \right) i_t(s) \quad (2.40)$$



รูปที่ 2.10 วงจรสมมูลของ LC ของซีลเดอร์ของรูปที่ 2.9

ดังนั้น จากสมการ (2.34) เราจะเขียนได้ว่า

$$Z_t(j\omega) = \frac{-g_m}{\omega^2 C_1 C_2} + \frac{1}{j\omega \left(\frac{C_1 C_2}{C_1 + C_2} \right)} \quad (2.41)$$

นั่นคือ $Z_t(j\omega)$ จะประกอบไปด้วย การต่ออนุกรมของความต้านทานแบบลบซึ่งเป็นกับความตื้น (FDNR) ที่มีค่า $(-g_m / \omega^2 C_1 C_2) R_3$ โดย ω_o คือ ค่าความถี่ที่ $\omega_o L_3 = (1 / \omega_o C_r)$ และเมื่อการ ของซีลเดอร์ส่วนภายนอกตัว ผลของความไม่เป็นเรียงลำดับของวงจรข่ายตัญญานจะทำให้เห็นว่า g_m ลดค่าเฉลี่ยลงจนกระทั่งค่าของความต้านทานแบบลบและแบบบวกเท่ากันพอดี ดังนั้น เราจะ เขียนได้ว่า

$$\omega_o = \frac{1}{\sqrt{(L_3 C_r)}} \quad (2.42)$$

$$g_m = \frac{R_3(C_1 + C_2)}{L_3} \quad (2.43)$$

ซึ่งจะเห็นได้ว่าเมื่อนำไป

สมการ(2.42) และ สมการ(2.43) จะตรงกันกับ สมการ(2.32) และ สมการ(2.33) ทุกประการ

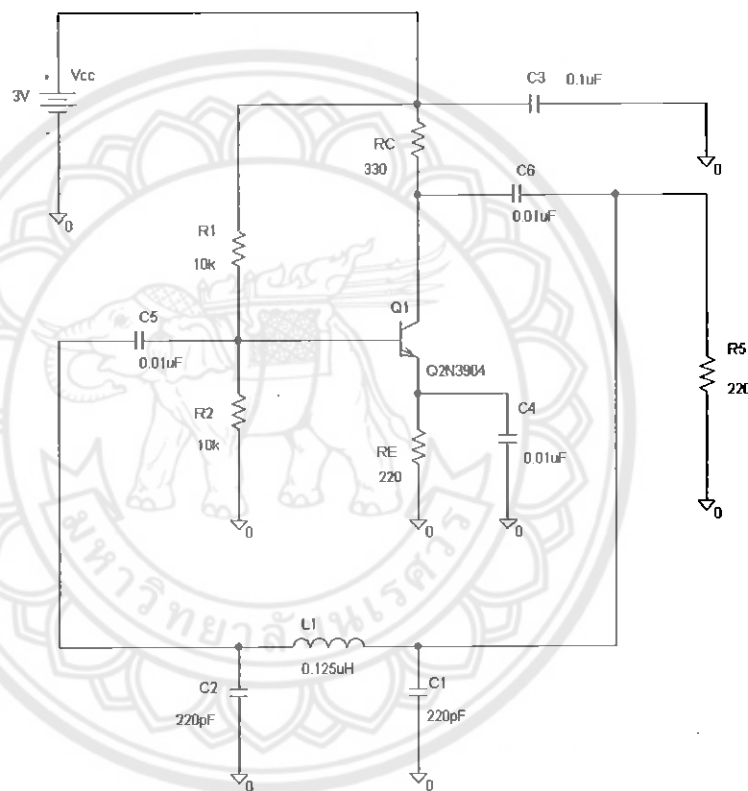


บทที่ 3

การวิเคราะห์วงจร

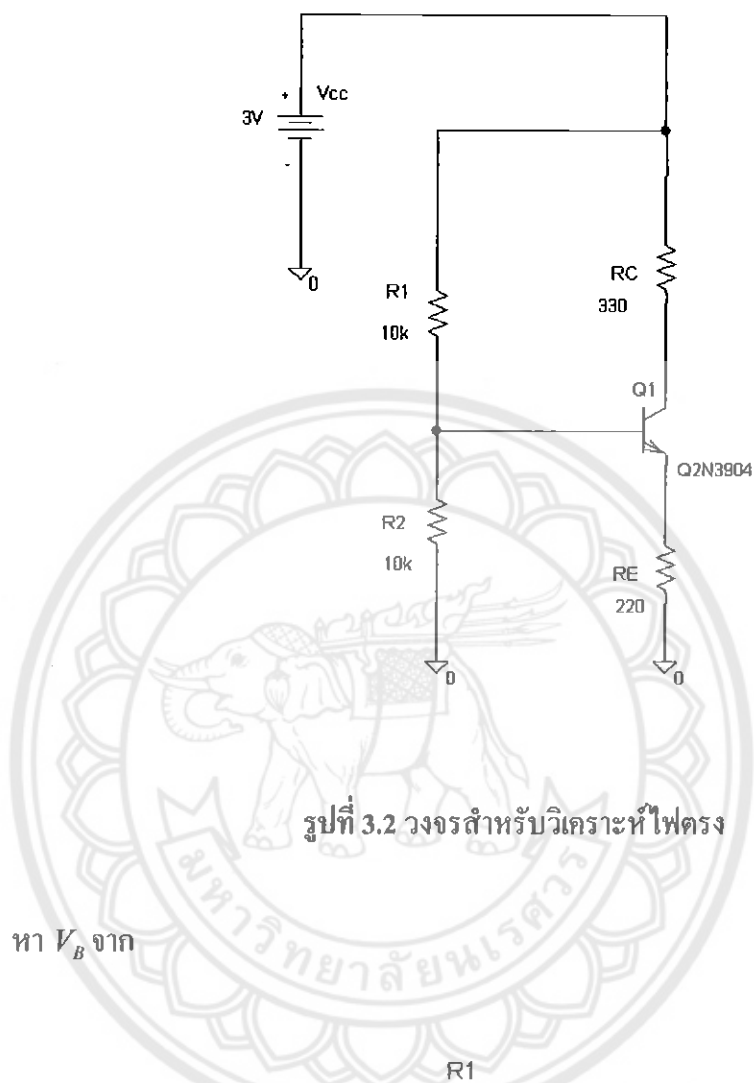
3.1 การวิเคราะห์วงจรอสซิลเลเตอร์แบบโคลพิตต์ 35 MHz โดยการคำนวณมือ

ในขั้นแรก จะทำการวิเคราะห์หัวใจของวงจรอสซิลเลเตอร์ [4] ก่อน เพื่อเป็นการทำความเข้าใจการทำงานของวงจร และนำผลที่ได้ไปช่วยในการออกแบบต่อไป ซึ่งวงจรที่นำมาทำ การวิเคราะห์มีลักษณะดังนี้

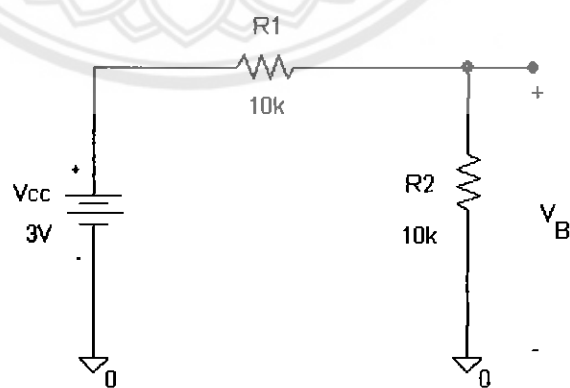


รูปที่ 3.1 วงจรต้นแบบ

3.1.1 การวิเคราะห์ไฟฟ้า



หา V_B จาก



รูปที่ 3.3 วงจรสำหรับหา V_B

$$V_{CC} = (R_1 + R_2)I \quad (3.1)$$

$$3V = (10k\Omega + 10k\Omega)I \quad (3.2)$$

$$I = \frac{3V}{20k\Omega} = 150\mu A \quad (3.3)$$

$$\therefore V_B = I \times R2 \quad (3.4)$$

$$= (150\mu A)(10k\Omega) \quad (3.5)$$

$$V_B = 1.5V \quad (3.6)$$

หา I_E จาก

$$I_E = \frac{V_B - V_T \left[\ln \left(\frac{I_E}{I_{ES}} + 1 \right) \right]}{R_E} \quad (3.7)$$

สำหรับค่า I_{ES} นั้นมีค่าระหว่าง 10^{-14} ถึง 10^{-16}

ในที่นี้จะเลือกค่า I_{ES} เท่ากับ 10^{-14} นาฬิกาแทนค่าในสมการ

$$I_E = \frac{1.5V - 26mV \left[\ln \left(\frac{I_E}{10^{-14}} + 1 \right) \right]}{220\Omega} \quad (3.8)$$

เพื่อความสะดวกในการหาค่าตอบของสมการนี้จะใช้โปรแกรม MATLAB มาช่วย โดยใช้ Source Code ที่เขียนเป็น M-file ชื่อ findIE.m ดังนี้

```
Ie(1)=1*10^(-3);
Ie(2)=0;
Ies = 6.734*(10^(-15));
Beta = 416.4;
Vb = 1.5;
Re = 220;
n=1;
while Ie(n+1)-Ie(n) ~= 0
    Ie(n+1)=(Vb -(26*10^(-3))*(log((Ie(n)/Ies))+1))/Re;
    n=n+1;
    Ie(n+1)=(Vb -(26*10^(-3))*(log((Ie(n)/Ies))+1))/Re;
    if n==100 ,break ,end
    end
Ie(n-1),Ie(n)
```

จาก การใช้โปรแกรมช่วยหา ค่า I_E จะได้ว่า

$$I_E = 3.7mA \quad (3.9)$$

เพื่อที่จะหาค่า I_C จะต้องเลือกหาค่า α จากสมการ

$$\alpha = \frac{\beta_F}{1 + \beta_F} \quad (3.10)$$

ค่า β_F ได้จากช่วง [50,500] ก่อน

เลือกค่า $\beta_F = 100$

$$\alpha = \frac{100}{1 + 100} = 0.99 \quad (3.11)$$

$$\text{และจาก } I_E = \frac{-I_C}{\alpha}$$

จะได้ว่า $-I_C = \alpha I_E$

$$\text{นั่นคือ } I_C = -(0.99)(-3.7mA) = 3.663mA$$

แล้วหาค่า I_B จาก

$$I_B = \frac{I_C}{\beta_F} \quad (3.12)$$

$$\therefore I_B = \frac{3.663mA}{100} \quad (3.13)$$

$$I_B = 36.63\mu A \quad (3.14)$$

3.1.2 การวิเคราะห์ไฟสลับ

$$\text{จาก } g_m = \frac{I_C}{V_T}$$

$$g_m = \frac{3.663mA}{26mV} = 140.885mmho \quad (3.15)$$

หาค่า

$$r_\pi = \frac{\beta_0}{g_m} \Big|_{\beta_0=\beta_F} = \frac{100}{140.885mmho} \quad (3.16)$$

$$r_\pi = 709.799\Omega \quad (3.17)$$

ต่อมาทำการหาค่า r_o จาก

$$r_o = \frac{V_A}{I_C} \quad (3.18)$$

เมื่อ V_A สามารถได้จากการเลือกค่าจากช่วง $[15V, 100V]$

ในที่นี้เลือกท่า $V_A = 50V$

แทนค่าต่างๆ ในสมการ

$$r_o = \frac{50V}{3.663mA} \quad (3.19)$$

$$r_o = 13.65k\Omega \quad (3.20)$$

การคำนวณหาค่า C_π

จาก

$$C_\pi = C_b + C_{je} \quad (3.21)$$

โดยที่

$$C_b = \tau_F g_m \quad (3.22)$$

ตัวหารับค่า τ_F จะเลือกให้เท่ากับ $0.1ns$

ดังนั้น

$$C_b = (0.1ns)(140.885mmho) \quad (3.23)$$

$$C_b = 14.0885pF \quad (3.24)$$

และจาก $C_{je} \cong 2C_{je0}$

เมื่อ $C_{je0} = 10fF$

จะได้ $C_{je} \cong 2(10fF)$

$$C_{je} \cong 20fF = 0.02pF \quad (3.25)$$

เพราะจะนั้น

$$C_\pi = 14.0885pF + 0.02pF \quad (3.26)$$

$$C_\pi = 14.1086pF \cong 14pF \quad (3.27)$$

จากวงจรนี้สามารถหาค่า ω_0^2 และ g_m ได้ดังนี้

$$\omega_0^2 = \left(\frac{1}{L_1} \right) \left[\frac{1}{(C_2 + C_\pi)} + \frac{1}{C_1} \right] + \left(\frac{R_{L1}}{L_1} \right) \left[\frac{1}{Z_o C_1} + \frac{1}{Z_i (C_2 + C_\pi)} \right] + \frac{1}{Z_i Z_o C_1 (C_2 + C_\pi)} \quad (3.28)$$

เพื่อความสะดวกในการคำนวณ จะแยกเทอมพิจารณา

$$\left(\frac{1}{L_1} \right) \left[\frac{1}{C_2 + C_\pi} + \frac{1}{C_1} \right] = \left(\frac{1}{0.125\mu H} \right) \left[\frac{1}{220pF + 14pF} + \frac{1}{220pF} \right] \cong 70.5517 \times 10^{15} \quad (3.29)$$

$$\left(\frac{R_3}{L_1} \right) \left[\frac{1}{Z_o C_1} + \frac{1}{Z_i (C_2 + C_\pi)} \right] = \left(\frac{0.5\Omega}{0.125\mu H} \right) \left[\frac{1}{(330\Omega)(220pF)} + \frac{1}{(710\Omega)(220pF + 14pF)} \right]$$

$$\cong 36.1892 \times 10^{12} \quad (3.30)$$

$$\frac{1}{Z_i Z_o C_1 (C_2 + C_\pi)} = \frac{1}{(710\Omega)(330\Omega)(220pF)(220pF + 14pF)} \cong 82.9066 \times 10^{12} \quad (3.31)$$

เมื่อทำการรวมค่าในเทอมต่างๆจะพบว่าค่าที่ได้จะมีค่าใกล้เคียงกับค่าที่ได้จากเทอมแรก
เพราะจะนั้น จึงอาจประมาณได้ว่า

$$\omega_0^2 \cong \left(\frac{1}{L_1} \right) \left[\frac{1}{C_2 + C_\pi} + \frac{1}{C_1} \right] \quad (3.32)$$

$$\omega_0^2 \cong 70.5517 \times 10^{15} \quad (3.33)$$

$$\therefore \omega_0 = \sqrt{70.5517 \times 10^{15}} \text{ rad/s} = 265.6157 \text{ Mrad/s} \quad (3.34)$$

จาก $\omega_0 = 2\pi f_0$

จะหา f_0 ได้เท่ากับ

$$f_0 = \frac{\omega_0}{2\pi} = \frac{265.6157 \text{ Mrad/s}}{2\pi} \quad (3.35)$$

$$\therefore f_0 = 42.27 \text{ MHz} \quad (3.36)$$

ต่อมากาค่า g_π ที่น้อยที่สุดที่ทำให้วงจรยังคงออกซิลเลตอยู่

จาก

$$g_m = \omega_0^2 \left\{ R_3 C_1 (C_2 + C_\pi) + L_1 \left[\frac{C_1}{Z_i} + \frac{(C_2 + C_\pi)}{Z_o} \right] \right\} - \left(\frac{R_3}{Z_o Z_i} + \frac{1}{Z_o} + \frac{1}{Z_i} \right) \quad (3.37)$$

แยกเทอมพิจารณา

$$\omega_0^2 R_3 C_1 (C_2 + C_\pi) = (70.5517 \times 10^{15}) (0.5\Omega) (220\text{pF}) (220\text{pF}) \cong 1.8 \times 10^{-3} \quad (3.38)$$

$$\omega_0^2 \frac{L_1 C_1}{Z_i} = (70.5517 \times 10^{15}) \frac{(0.125\mu H)(220\text{pF})}{710\Omega} \cong 2.7 \times 10^{-3} \quad (3.39)$$

$$\omega_0^2 \frac{L_1 (C_2 + C_\pi)}{Z_o} = (70.5517 \times 10^{15}) \frac{(0.125\mu H)(220\text{pF} + 14\text{pF})}{330\Omega} \cong 6.3 \times 10^{-3} \quad (3.40)$$

$$-\frac{R_3}{Z_o Z_i} = -\frac{(0.5\Omega)}{(330\Omega)(710\Omega)} \cong -2.1 \times 10^{-6} \quad (3.41)$$

$$-\frac{1}{Z_o} = -\frac{1}{(330\Omega)} \cong -3 \times 10^{-3} \quad (3.42)$$

$$-\frac{1}{Z_\pi} = -\frac{1}{(710\Omega)} = -1.4 \times 10^{-3} \quad (3.43)$$

รวมทุกเทอม จะได้

$$g_m = 6.4 \text{mmho} \quad (3.44)$$

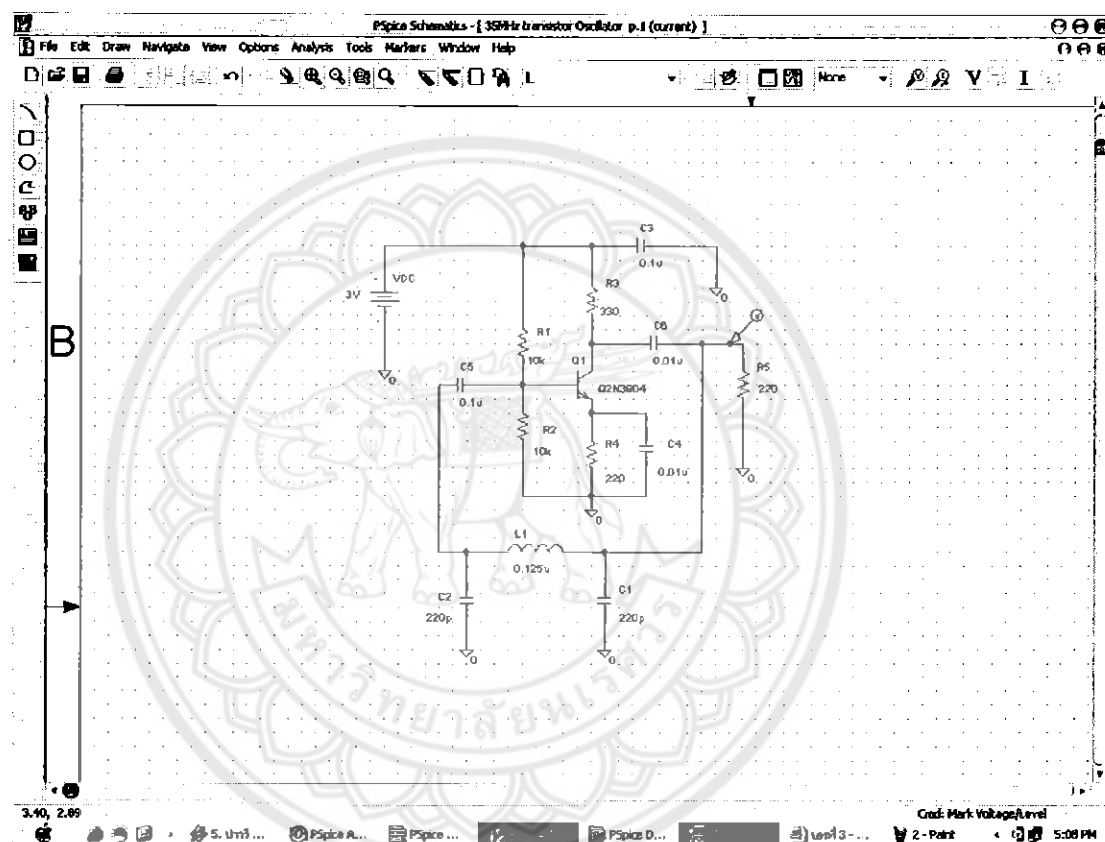
ซึ่งเป็นค่าที่น้อยที่สุด ที่จะทำให้วงจรบังคับมีการออสซิลเลตอยู่ เมื่อเปรียบเทียบค่า g_m จากวงจรขยายแล้ว จะพบว่า g_m ของวงจรขยายมีค่าที่สูงกว่าค่า g_m ที่น้อยที่สุดนี้ ดังนั้นวงจรจะสามารถเกิดการออสซิลเลตได้

3.2 การวิเคราะห์วงจรอสซิลเลเตอร์ 35 MHz ด้วยโปรแกรม PSpice

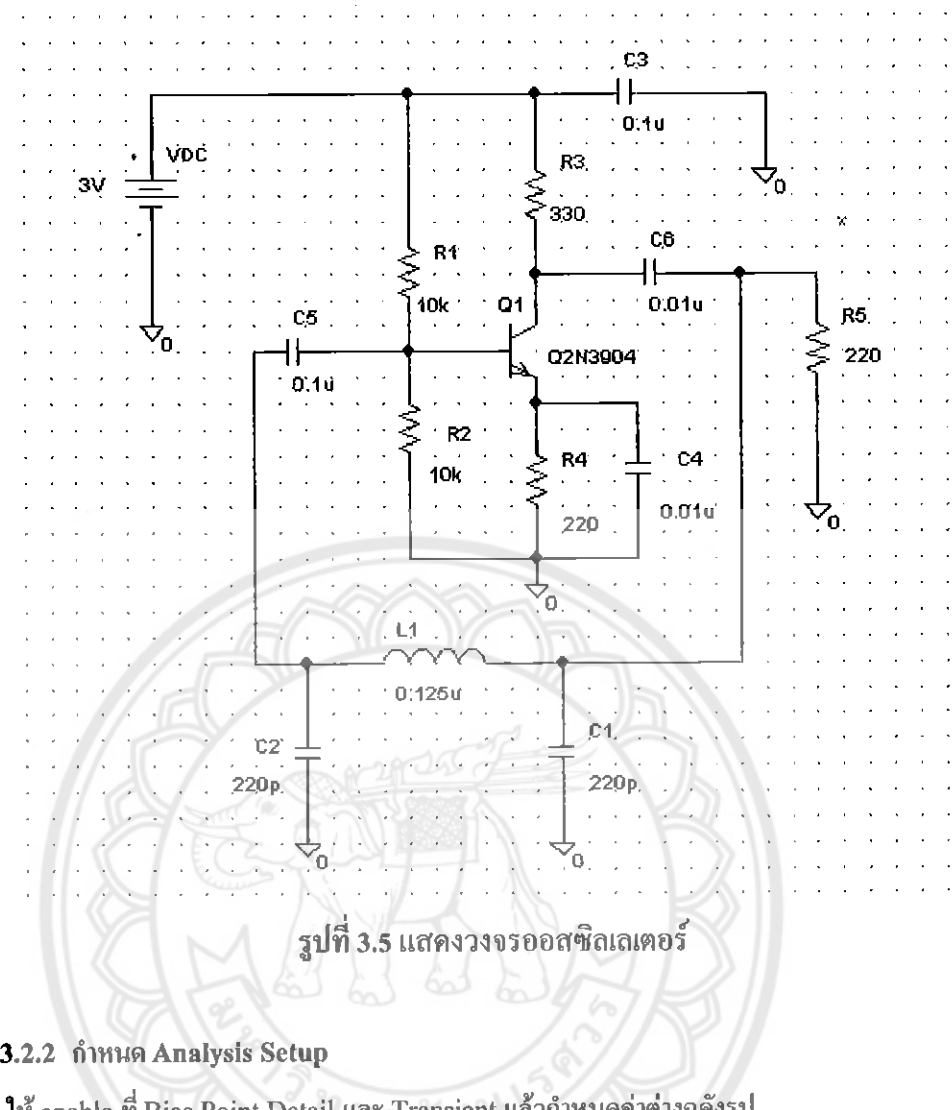
เมื่อทำการวิเคราะห์ด้วยการคำนวณเมื่อแล้ว นำวงจรตัวอย่างไปวิเคราะห์ด้วยโปรแกรม PSpice เพื่อคุณว่างจรดังกล่าวมีความสามารถจะอสซิลเลเตให้สัญญาณไซน์ได้หรือไม่ นอกจานี้การใช้โปรแกรมยังมีประโยชน์ในการปรับแต่งเพื่อให้วงจรดังกล่าวสามารถอสซิลเลเตได้ มีขั้นตอนดังนี้

3.2.1 นำวงจรเข้าไปวิเคราะห์ในโปรแกรม

๗๖.
๗๒๘๐
๒๕๕๐.

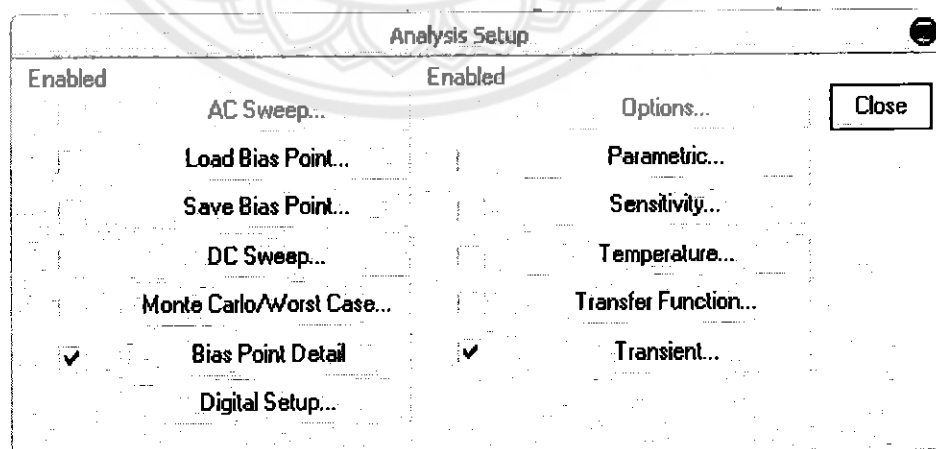


รูปที่ 3.4 แสดงวงจรอสซิลเลเตอร์ที่นำเข้าไปประมวลผลกับโปรแกรม PSpice

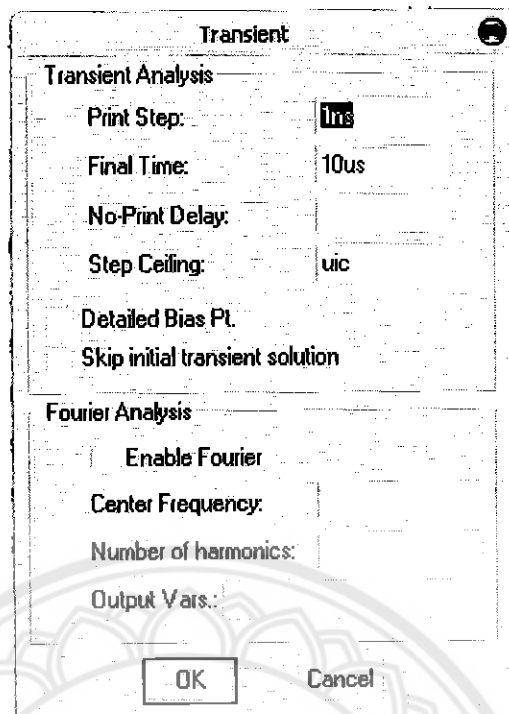


3.2.2 กำหนด Analysis Setup

ให้ enable ที่ Bias Point Detail และ Transient แล้วกำหนดค่าต่างๆดังรูป

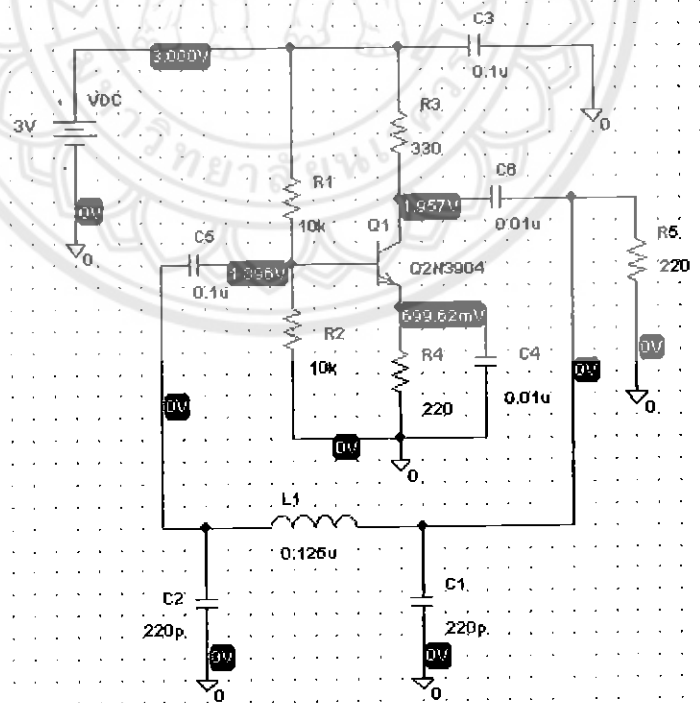


รูปที่ 3.6 แสดงการกำหนดคุณนิการวิเคราะห์

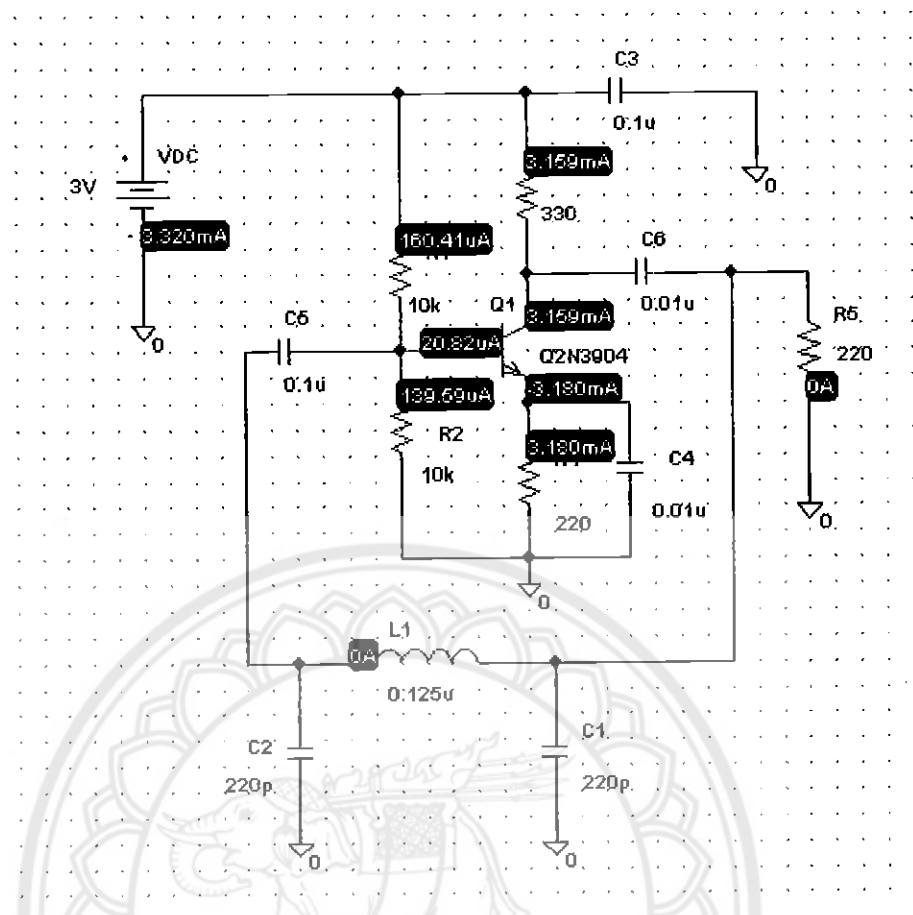


รูปที่ 3.7 แสดงการกำหนดค่าพารามิเตอร์ของการวิเคราะห์แบบ Transient

3.2.3 พิจารณาค่า Bias Voltage และ Current



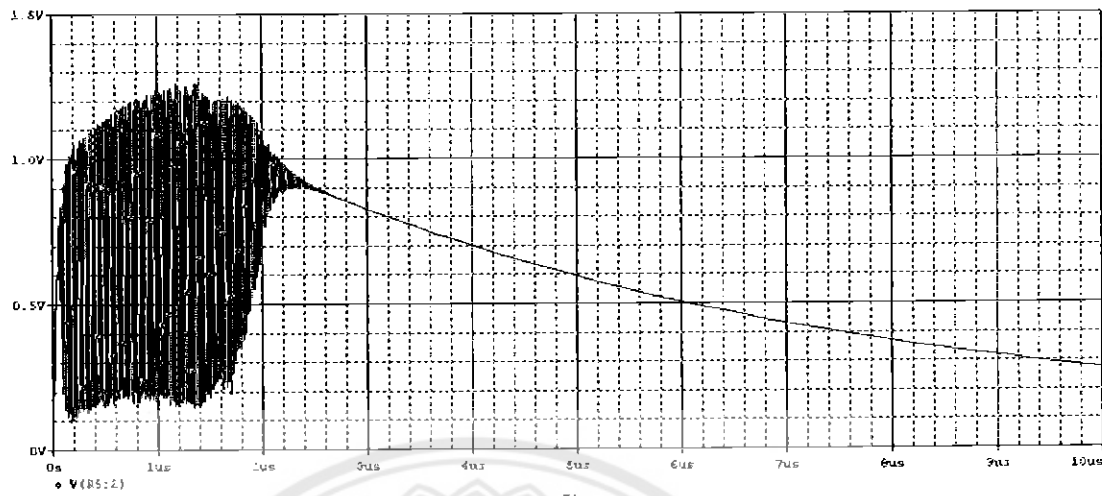
รูปที่ 3.8 แสดงค่า Bias Voltage ของวงจร



รูปที่ 3.9 แสดงค่า Bias Current ของวงจร

เมื่อพิจารณา ค่า Bias Voltage ให้ว่า $V_{be} = V_B - V_{RE} = 1.396V - 699.62mV = 696.38mV$
ดังนั้น วงจรขยายสามารถทำงานได้

3.2.4 พิจารณาลักษณะสัญญาณที่ R_s



รูปที่ 3.10 แสดงลักษณะสัญญาณที่ R_s

จากรูปจะพบว่า วงจรข้างไม่สามารถผลิตสัญญาณใหม่ได้ จึงต้องทำการปรับแต่งวงจรให้ได้สัญญาณต่อไป

3.3 การปรับแต่งวงจร

จากการวิเคราะห์วงจรด้วยการคำนวณด้วยมือ จะพบว่า

3.3.1 ผลกระทบของค่า g_m

วงจรจะออกซีลเดลต์ได้ เมื่อ $g_m \geq 6.4mmho$ ดังนั้นเราจะทดสอบค่า g_m ของวงจรว่ามีพอดีที่จะกำเนิดสัญญาณใหม่ได้หรือไม่ โดยการคำนวณและใช้ค่าของพารามิเตอร์ต่างๆ เมื่อเดลของทรานซิสเตอร์ เบอร์ 2N3904 ในโปรแกรม PSpice ซึ่งให้ผลดังนี้

$$I_E = 3.5mA \quad (3.45)$$

$$\alpha_F = 997.6 \times 10^{-3} \quad (3.46)$$

$$I_C = 3.14916mA \quad (3.47)$$

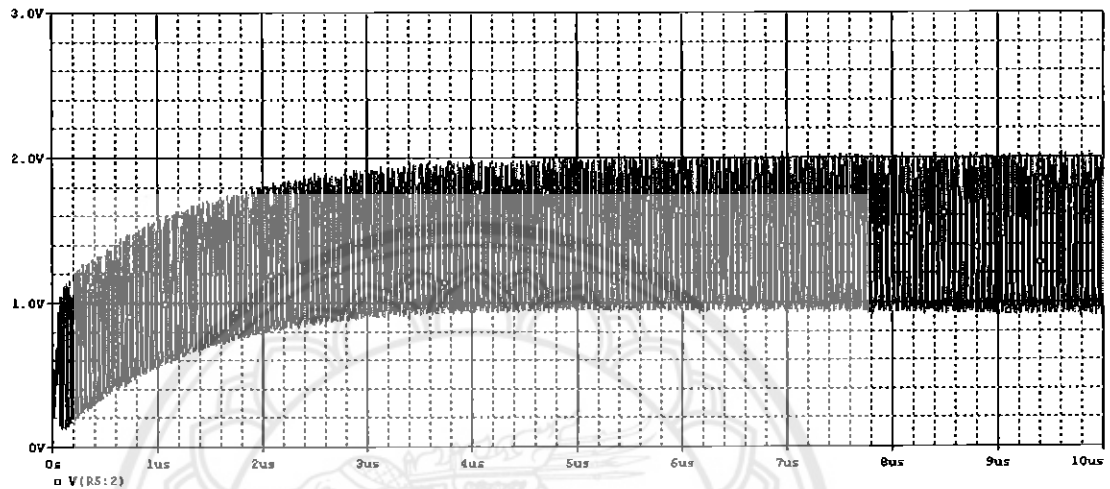
$$I_B = 8.38\mu A \quad (3.48)$$

$$g_m = \frac{I_C}{V_T} = 134.29mmho \quad (3.49)$$

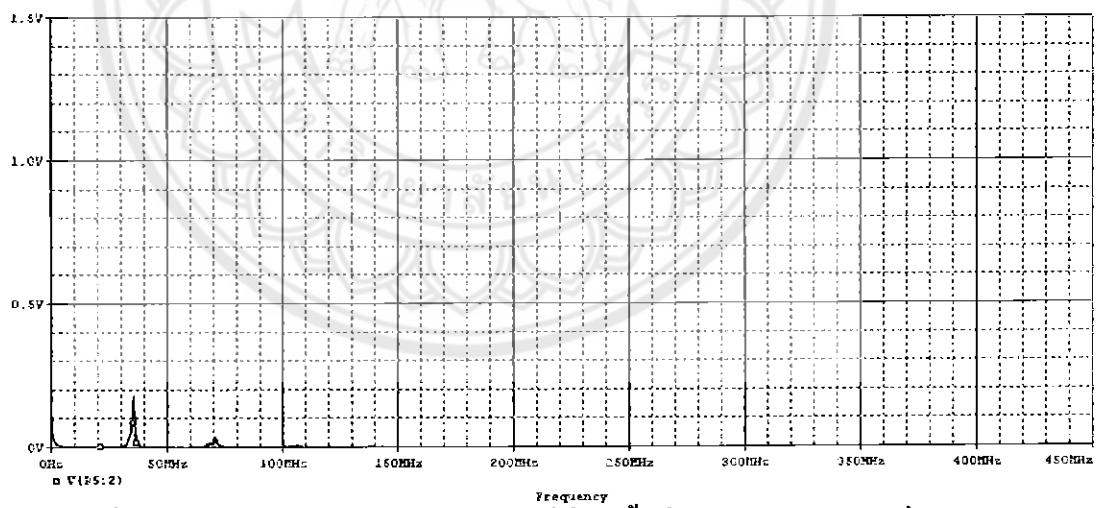
$$r_\pi = 3.1k\Omega \quad (3.50)$$

จากค่า g_m ที่หาได้แล้ว แสดงว่าวงจรนี้ค่า g_m พอดีจะทำให้ออสซิลเลตได้

ทดลองเพิ่มค่า $R_s = 1M\Omega$ จะให้ผลดังนี้



รูปที่ 3.11 แสดงลักษณะสัญญาณทางเวลาที่เกิดขึ้นที่ R_s หลังได้รับการเพิ่มค่าเป็น $1M\Omega$



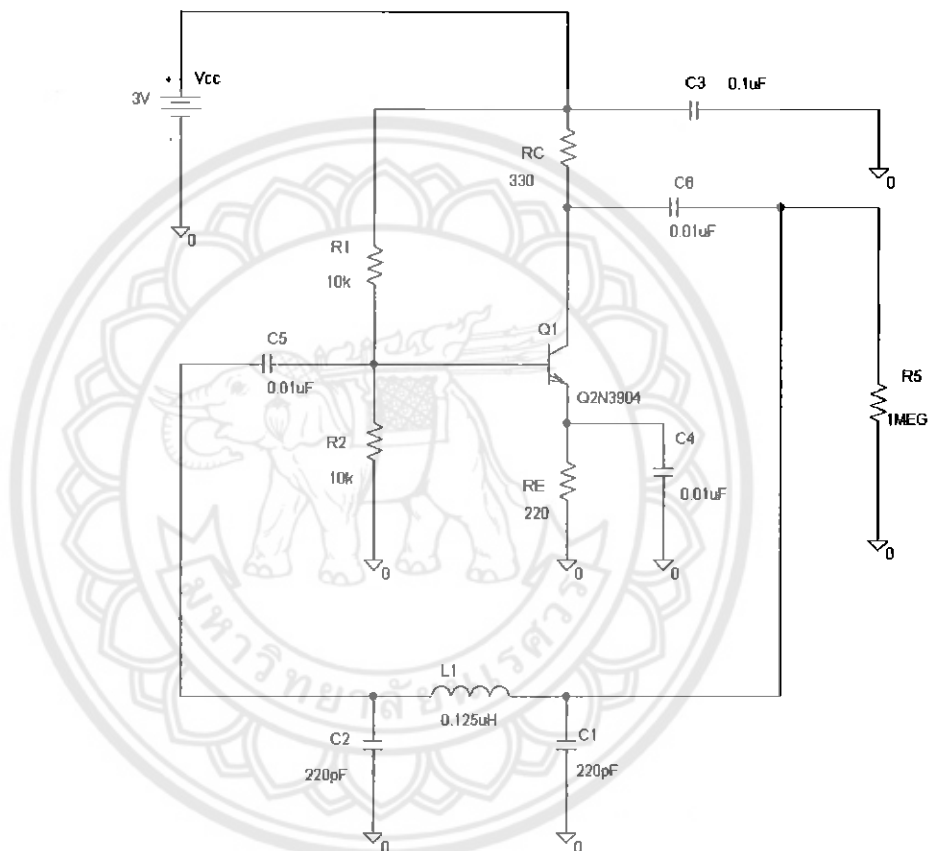
รูปที่ 3.12 แสดงลักษณะสัญญาณทางความถี่ที่เกิดขึ้นที่ R_s หลังได้รับการเพิ่มค่าเป็น $1M\Omega$

3.3.2 ความถี่ในการออสซิลเลต คือ

$$f_0 = \frac{1}{2\pi} \sqrt{\frac{C_1 + (C_2 + C_\pi)}{L_1 C_1 (C_2 + C_\pi)}} \quad (3.51)$$

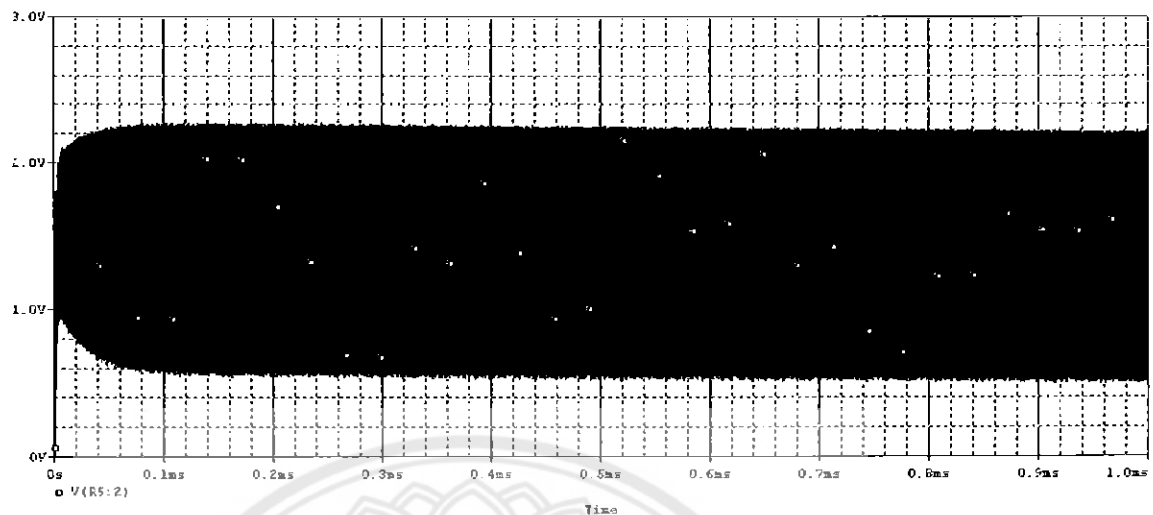
นั่นคือ อุปกรณ์ที่มีผลกับความถี่ของการออสซิลเลเตอร์ที่อยู่ในส่วนป้อนกลับ นั่นคือ C_1, C_2, C_x และ L_1 แต่เมื่อพิจารณาค่า C_x จะพบว่ามีผลกับความถี่ได้น้อยกว่า C_2 สำหรับการปรับแต่งในทางปฏิบัตินั้น การปรับค่าตัวเก็บประจุได้ง่ายกว่าการปรับค่าความนำไฟฟ้า ดังนั้นจะทำการปรับแต่งด้วยโปรแกรม PSpice ต่อไป เพื่อให้ได้ความถี่ที่ $35MHz$

เพราะกะนั้น วงจรที่จะนำໄປสร้างเป็นวงจรในทางปฏิบัติ คือ

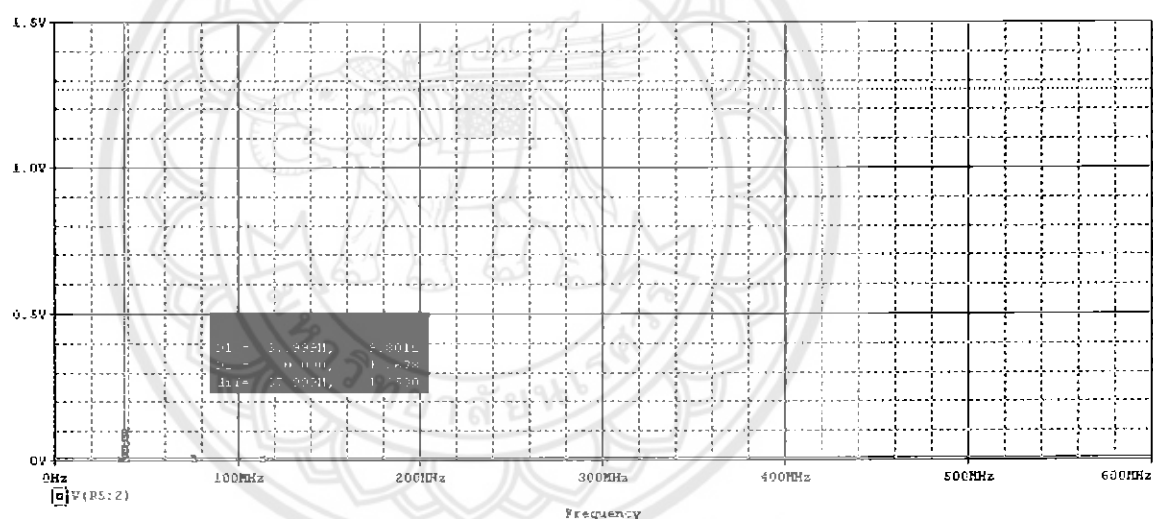


รูปที่ 3.13 วงจรออสซิลเลเตอร์ที่จะนำไปสร้างจริง

ชี้ให้ผลตอบสนองทางเวลาและความถี่ดังนี้



รูปที่ 3.14 แสดงสัญญาณที่ได้จากการในรูปที่ 3.13



รูปที่ 3.15 แสดงผลตอบสนองทางความถี่ ซึ่งมีความถี่ 35 MHz

บทที่ 4

การทดลอง

4.1 จุดประสงค์

- เพื่อตรวจสอบการนำไปใช้ของวงจรทรานซิสเตอร์
- เพื่อคุณภาพของสัญญาณที่ได้จากการจรอสซิลเลเตอร์ที่ได้ออกแบบไว้แล้ว

4.2 อุปกรณ์และเครื่องมือวัด

4.2.1 ตัวต้านทาน $\frac{1}{4}$ วัตต์ $\pm 5\%$ ค่า

- | | |
|-----------------|-------|
| 1. 330Ω | 1 ตัว |
| 2. 220Ω | 2 ตัว |
| 3. $10 k\Omega$ | 2 ตัว |

4.2.2 ตัวเก็บประจุ แบบเซรามิก ค่า

- | | |
|-----------------|-------|
| 1. $0.1 \mu F$ | 2 ตัว |
| 2. $0.01 \mu F$ | 2 ตัว |
| 3. $220 pF$ | 1 ตัว |
| 4. $1 M\Omega$ | 1 ตัว |

4.2.3 ตัวเหนี่ยวนำไฟฟ้า ค่า $0.125 \mu H$

หมายเหตุ สำหรับการทดลองนี้ ได้ใช้ตัวเหนี่ยวนำ ค่า $8 \mu H$ จำนวน 8 ตัว
ต่อขนาดกัน

4.2.4 ทรานซิสเตอร์ ชนิด NPN เบอร์ 2N3904

1 ตัว

4.2.5 ไฟโถบอร์ด

1 อัน

4.2.6 สายไฟเส้นเล็กสำหรับใช้ต่อวงจร

หลาย เส้น

4.2.7 แหล่งจ่ายไฟตรง

1 เครื่อง

4.2.8 คิจิตอลอสซิล โลสโคป

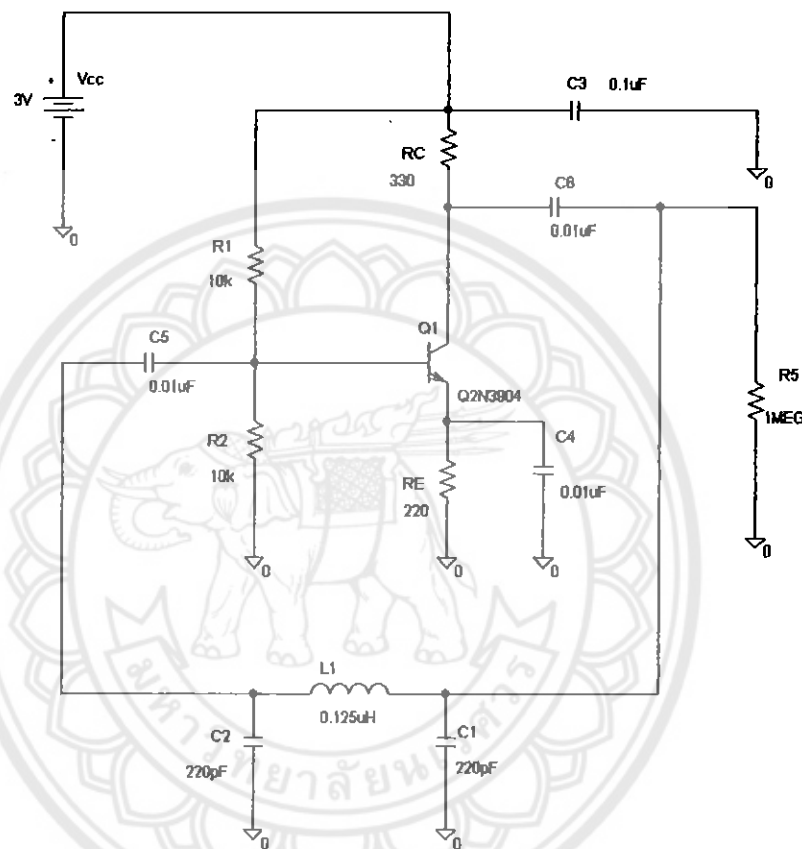
1 เครื่อง

4.2.9 มัลติมิเตอร์

1 เครื่อง

4.3 วิธีทำการทดสอบ

1. ต่อวงจรดังรูป



รูปที่ 4.1 แสดงวงจรที่ใช้ทดสอบ

2. ทำการวัดค่าแรงดันโนดต่างๆ ดังนี้ V_B , V_C , V_E , V_{BE} , และ V_{CE} และบันทึกค่าลงในตาราง
3. คำนวณหาค่า V_{BE} , I_B , I_C , I_E
4. ใช้คิจ cholos ซอฟต์แวร์วัดสัญญาณ ดังรูป โดยพิจารณาทั้งในทางเวลาและทางความถี่
5. บันทึกผล

4.4 ผลการทดลอง

ตารางที่ 4.1 แรงดันที่วัดได้จากในคต่างๆ

V_B (V)	V_C (V)	V_E (V)	V_{BE} (V)	V_{CE} (V)
1.369	1.733	0.937	0.482	0.863

การคำนวณหาท่า

$$V_{BE} = V_B - V_E = 1.369V - 0.937V = 0.432V \quad (4.1)$$

หา I_B

จาก $I_B = \frac{V_{CC} - V_{eq}}{R_{eq}}$ (4.2)

เมื่อ $R_{eq} = R_1 \parallel R_2$ (4.4)

และ $V_{eq} = \frac{R_2}{(R_1 + R_2)} V_{CC}$ (4.5)

แล้ว $R_{eq} = 10k\Omega \parallel 10k\Omega = 5k\Omega$ (4.6)

$$V_{eq} = \frac{10k\Omega}{(10k\Omega + 10k\Omega)} 3V = 1.5V \quad (4.7)$$

ดังนั้น $I_B = \frac{3V - 1.5V}{5k\Omega} = 300\mu A$ (4.8)

เมื่อพิจารณาค่าผิดพลาดของตัวต้านทาน ตัวละ $\pm 5\%$

$$R_1 = R_2 = R \pm 5\% = 10k\Omega \pm 500\Omega = 9.5k\Omega, 10.5k\Omega \quad (4.9)$$

โดยทั่วไปแล้วค่ามักมีต่ำกว่าค่าที่ระบุไว้ ทำให้ค่าผิดพลาด $R + 5\%$ จึงไม่มีผล

$$R_{eq} = 9.5k\Omega \parallel 9.5k\Omega = 4.75k\Omega \quad (4.10)$$

$$V_{eq} = \frac{9.5k\Omega}{(9.5k\Omega + 9.5k\Omega)} 3V = 1.5V \quad (4.11)$$

$$\therefore I_B = \frac{3V - 1.5V}{4.75k\Omega} = 315.79\mu A \quad (4.12)$$

ดังนั้น จะได้ค่าของกระแสเบริง อยู่ในช่วง $I_B = [300\mu A, 315.79\mu A]$

หา I_C

จาก $I_C = \frac{V_{CC} - V_C}{R_C} = \frac{3V - 1.733V}{330\Omega} = 3.839mA$ (4.13)

เมื่อพิจารณาค่าความผิดพลาดของตัวต้านทานด้วยจะได้

$$R_C = R \pm 5\% = 330\Omega \pm 16.5\Omega = 313.5\Omega, 346.5\Omega \quad (4.14)$$

เช่นเดียวกัน ถ้าไม่พิจารณาค่าความผิดพลาด + 5%

จะได้ค่า $I_C = \frac{3V - 1.733V}{313.5\Omega} = 4.042mA$ (4.15)

ดังนั้นจะได้กระแส $I_C = [3.839mA, 4.042mA]$

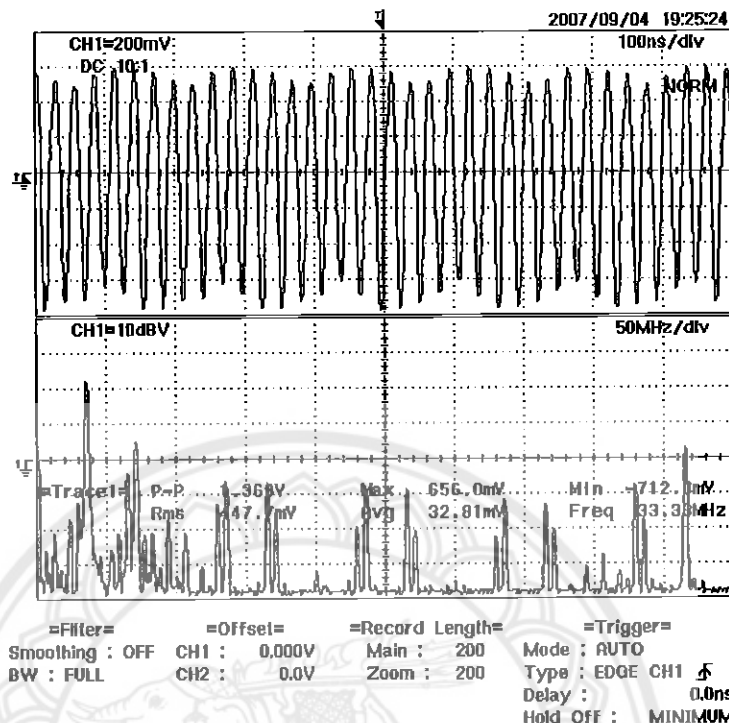
หาค่า I_E

จาก

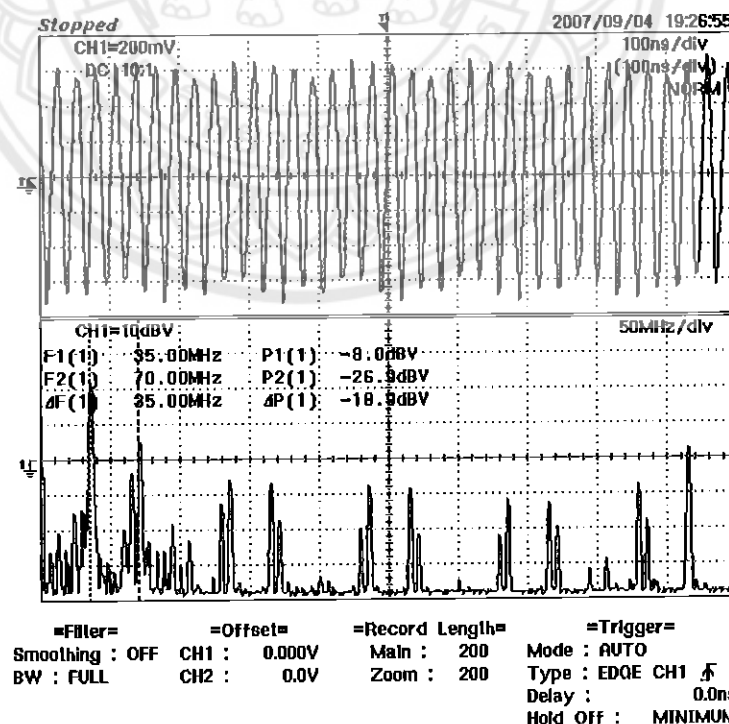
$$I_E = I_C + I_B = [(3.839mA + 300\mu A), (4.042mA + 315.79\mu A)] \quad (4.16)$$

$$= [4.139mA, 4.358mA] \quad (4.17)$$

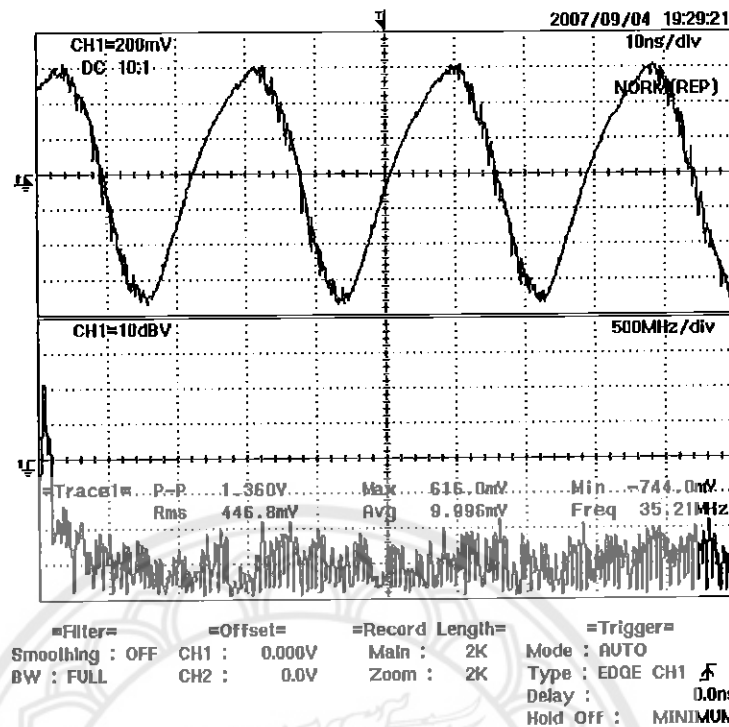
ดักษณะสัญญาณที่วัดได้



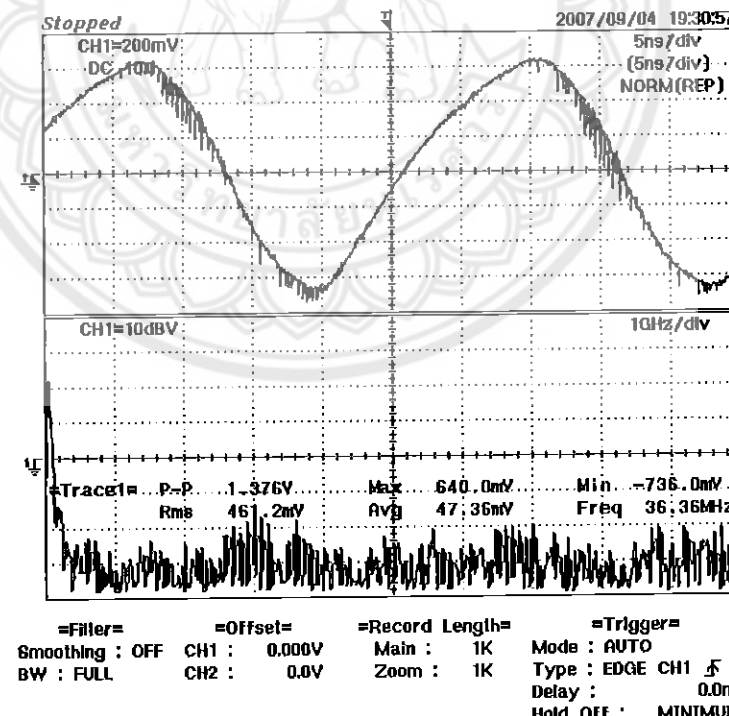
รูปที่ 4.2 สัญญาณที่วัดได้จาก R_s โดยที่มี volt/div = 200mV และ time/div = 100ns



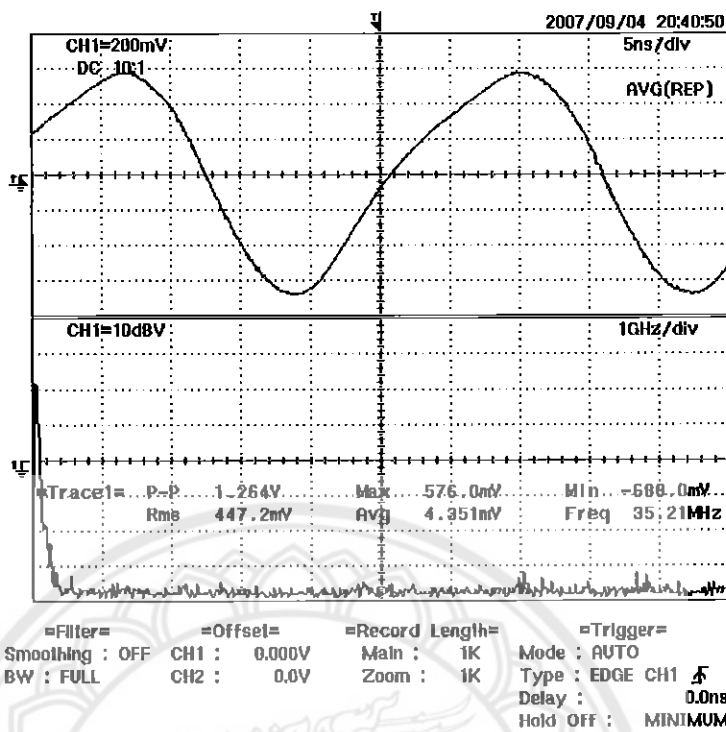
รูปที่ 4.3 สัญญาณที่วัดได้จาก R_s โดยที่มี volt/div = 200mV , time/div = 100ns
และแสดงสัญญาณในช่วงความถี่ ที่ 35 MHz



รูปที่ 4.4 สัญญาณที่วัดได้จาก R_s โดยที่มี volt/div = 200mV และ time/div = 10ns



รูปที่ 4.5 สัญญาณที่วัดได้จาก R_s โดยที่มี volt/div = 200mV และ time/div = 5ns



รูปที่ 4.6 สัญญาณที่วัดได้จาก R_s โดยที่มี volt/div = 200mV time/div = 10ns และได้กำจัดสัญญาณรบกวนออกໄไป โดยการวัดค่าเฉลี่ยของสัญญาณ

บทที่ 5

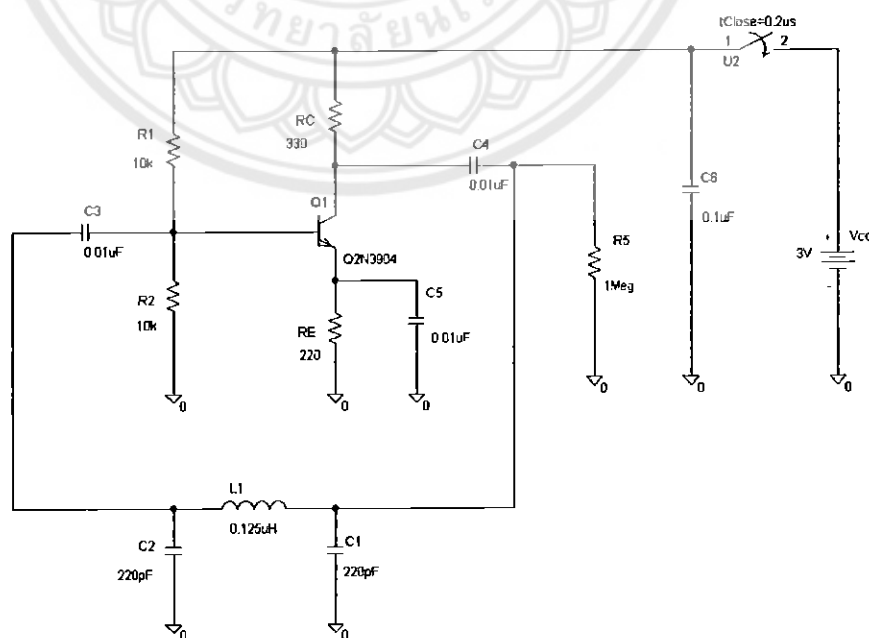
วิเคราะห์และสรุปผลการทดลอง

5.1 การวิเคราะห์สัญญาณเพื่อเชิงการทำงานของจรอสซิลเลเตอร์

ตารางที่ 5.1 การวิเคราะห์ค่าไฟกระแสตรง

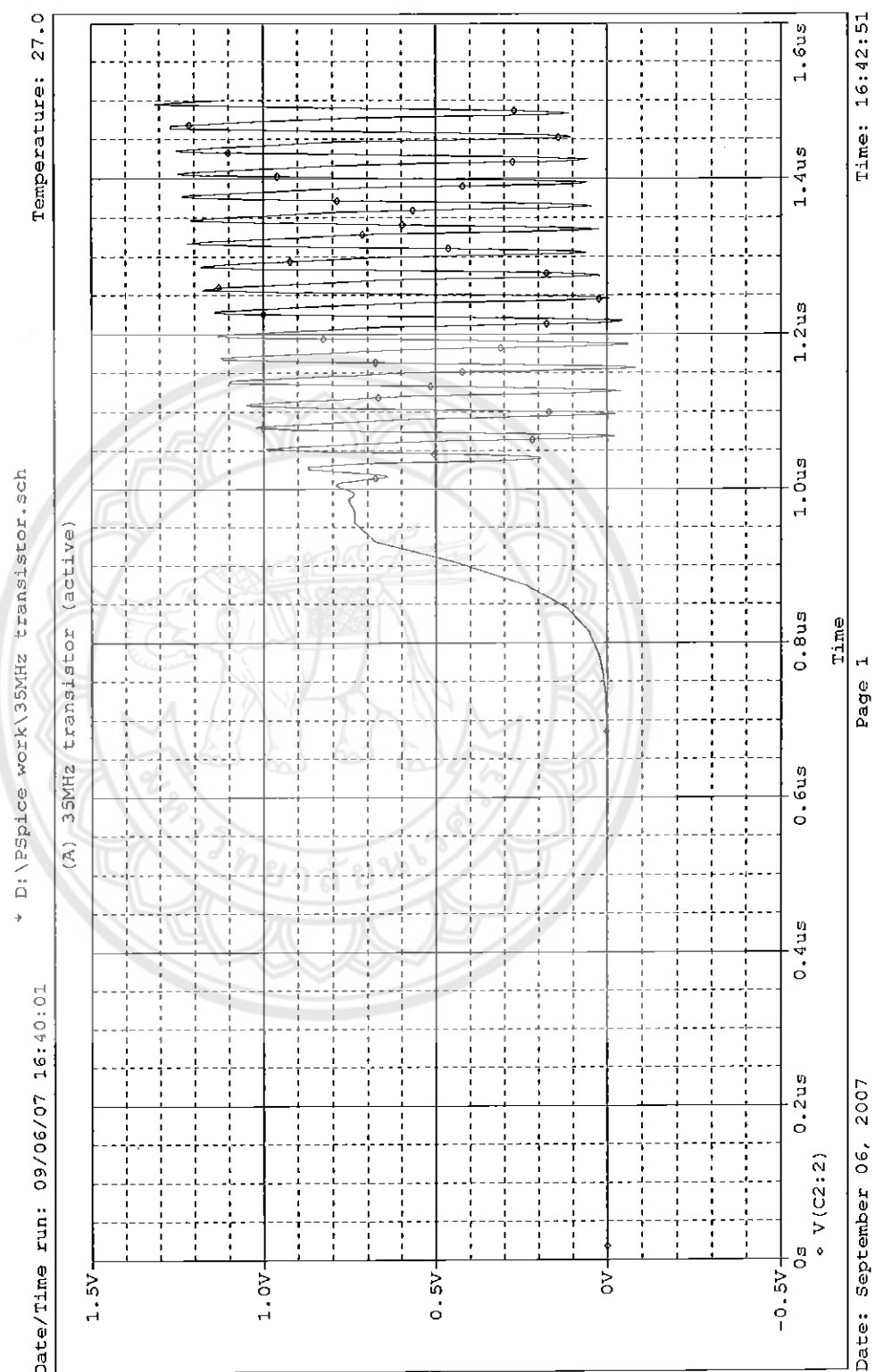
	โดยคำนวณด้วยมือ	โดยการ simulate ด้วยโปรแกรม PSpice	โดยการทดลองจริง
V_B	1.5 V	1.396 V	1.369 V
V_C	2.038 V	1.957 V	1.733 V
V_E	770 mV	699.62 mV	0.937 V
V_{BE}	730 mV	696.38 mV	0.482 V
V_{CE}	1.278 V	1.257 mV	0.863 V
I_B	$8.38 \mu A$	$20.82 \mu A$	$300 \mu A - 315.79 \mu A$
I_C	3.149 mA	3.159 mA	3.839 mA - 4.042 mA
I_E	3.5 mA	3.180 mA	4.139 mA - 4.358 mA

ด้วยการวิเคราะห์กราฟที่ได้จากผลการรันโปรแกรม PSpice

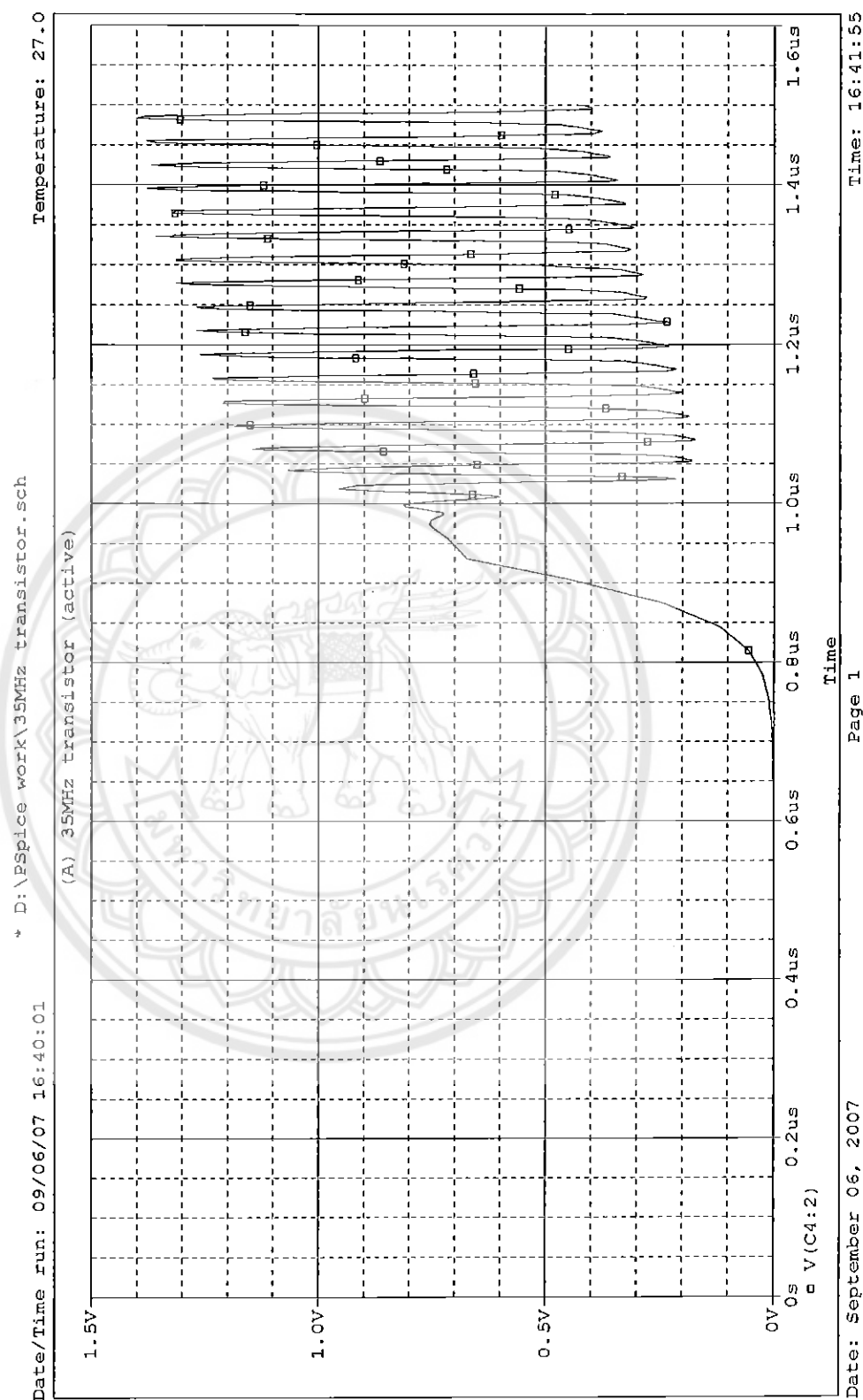


รูปที่ 5.1 แสดงวงจรรอสซิลเลเตอร์ที่สมบูรณ์

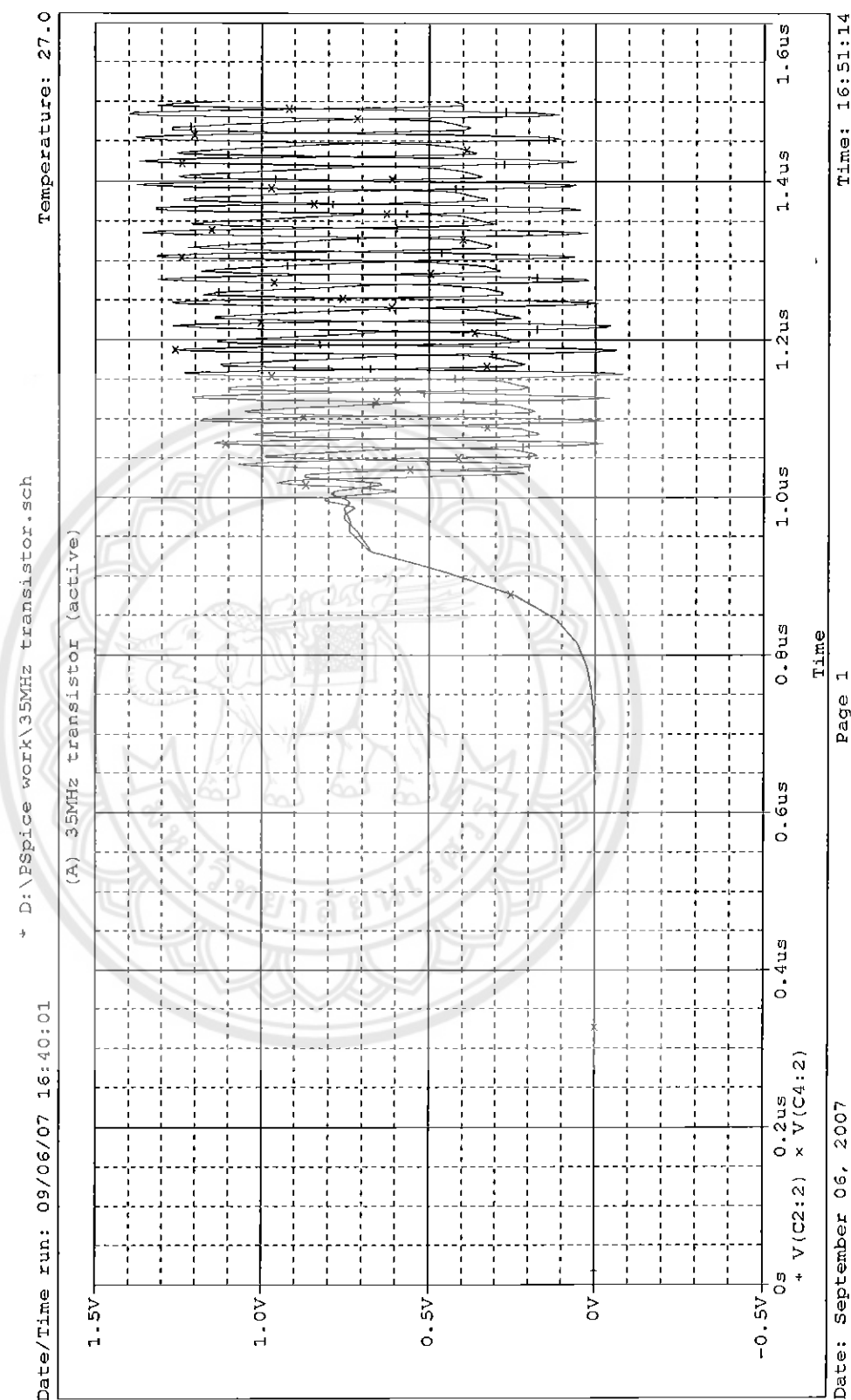
จากรูป 5.1 เมื่อนำเข้าไปประมวลผลด้วยโปรแกรม PSpice จะได้ผลลัพธ์ทางสัญญาณดังนี้



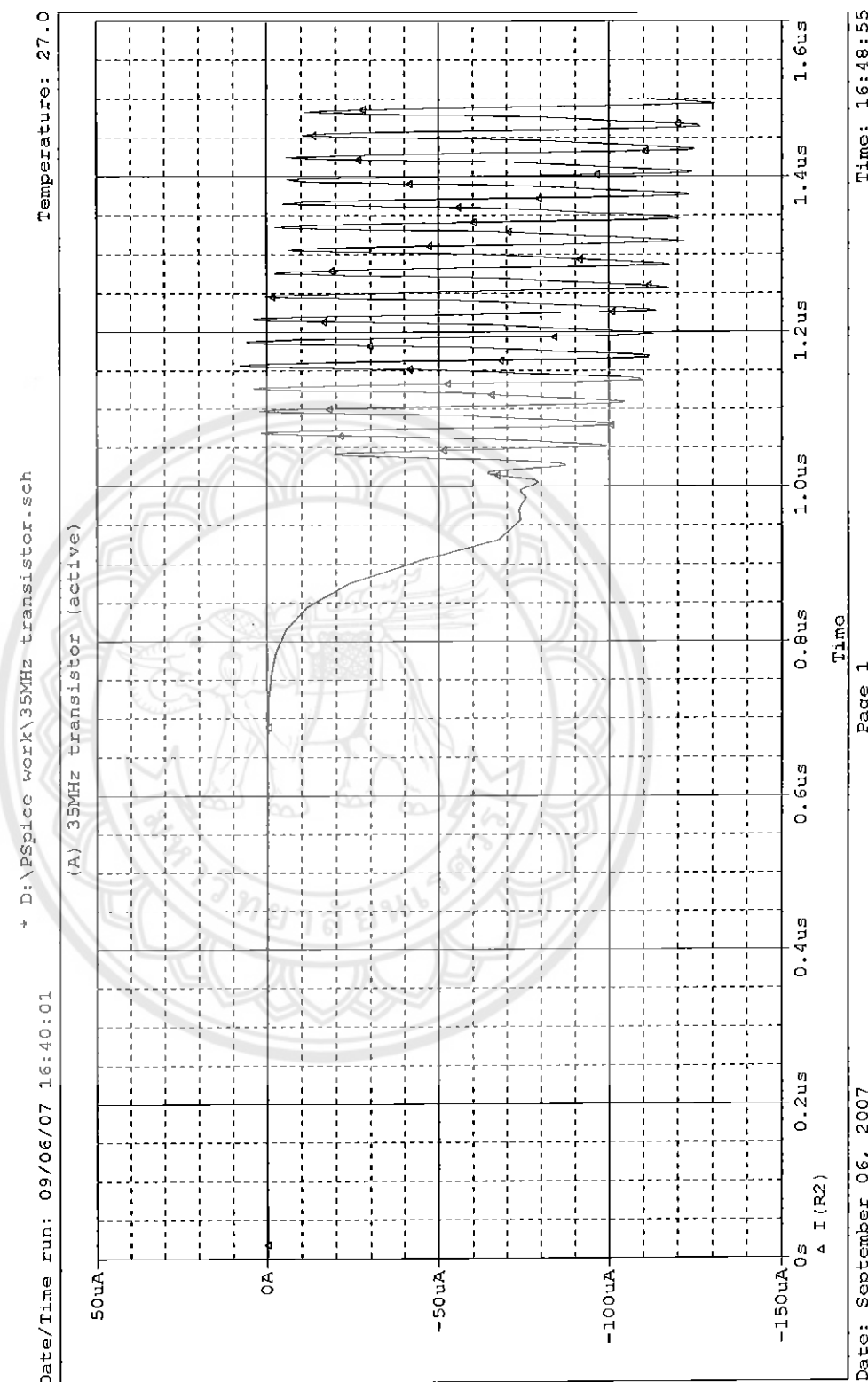
รูปที่ 5.2 แสดงสัญญาณแรงดันที่ตัวเก็บประจุ C2



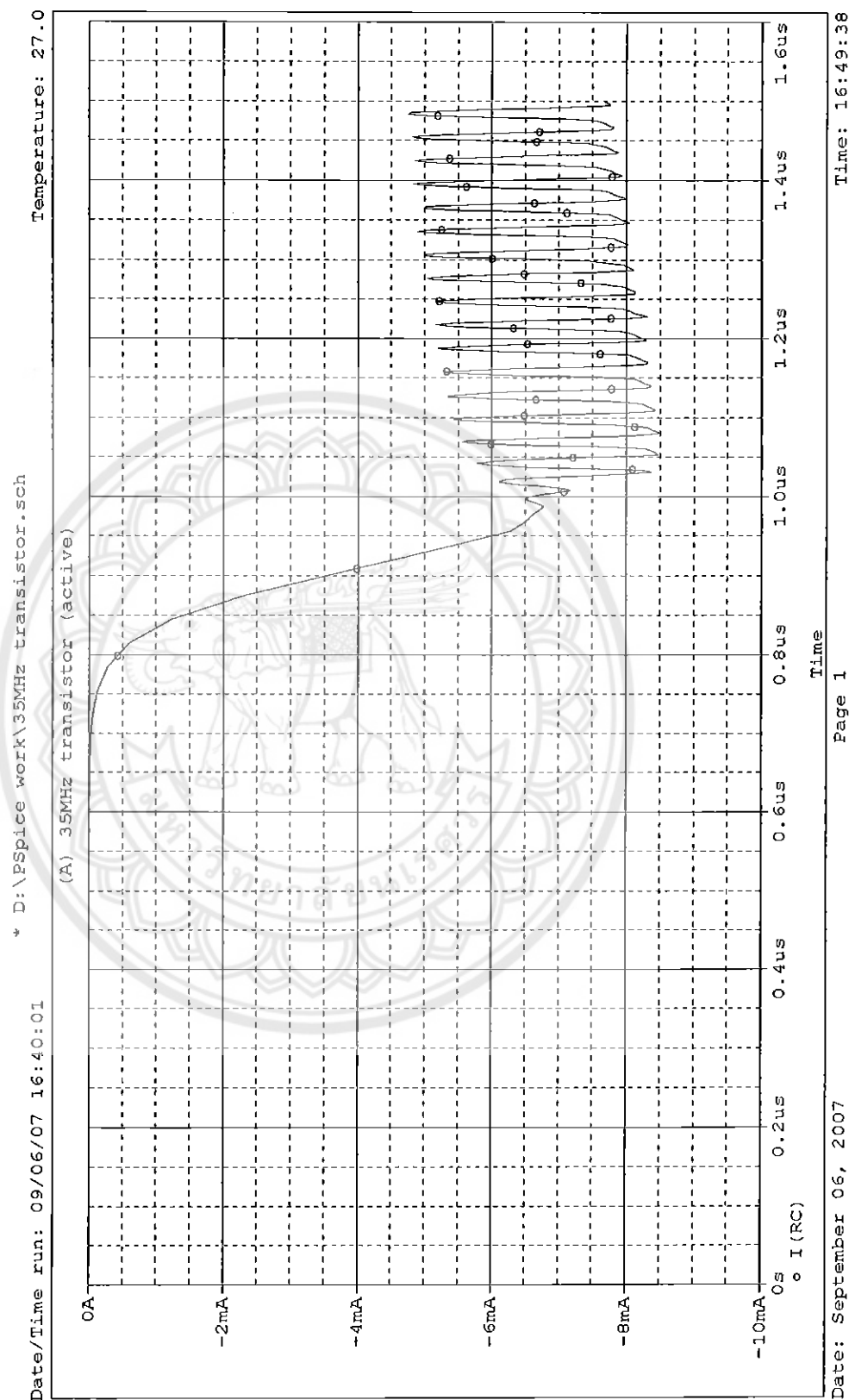
รูปที่ 5.3 แสดงสัญญาณแรงดันที่ตัวเก็บประจุ C4



รูปที่ 5.4 แสดงสัญญาณแรงดันที่ตัวเก็บประจุ C2 และ C4

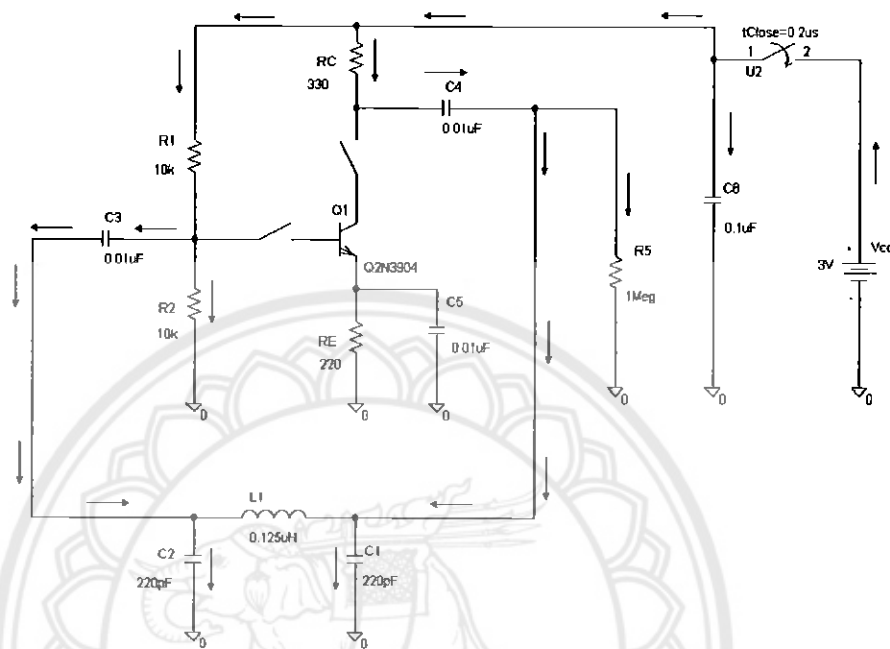


รูปที่ 5.5 แสดงสัญญาณกระแสที่ตัวค้านทาน R2



รูปที่ 5.6 แสดงสัญญาณกระแสที่ตัวค้านทาน RC

เมื่อพิจารณาจากรูปที่ 5.1 ถึง รูปที่ 5.6 จะสามารถอธิบายการทำงานของวงจรนี้ได้ว่า เมื่อทำการปิดสวิตช์แรงดันกระ世家ไฟหลักแหล่งจ่ายแรงดันผ่าน R_1 , R_2 , R_C , C_3 , C_4 , C_2 , L_1 , C_1 และลงสู่กราว์ด ดังรูปที่ 3.15

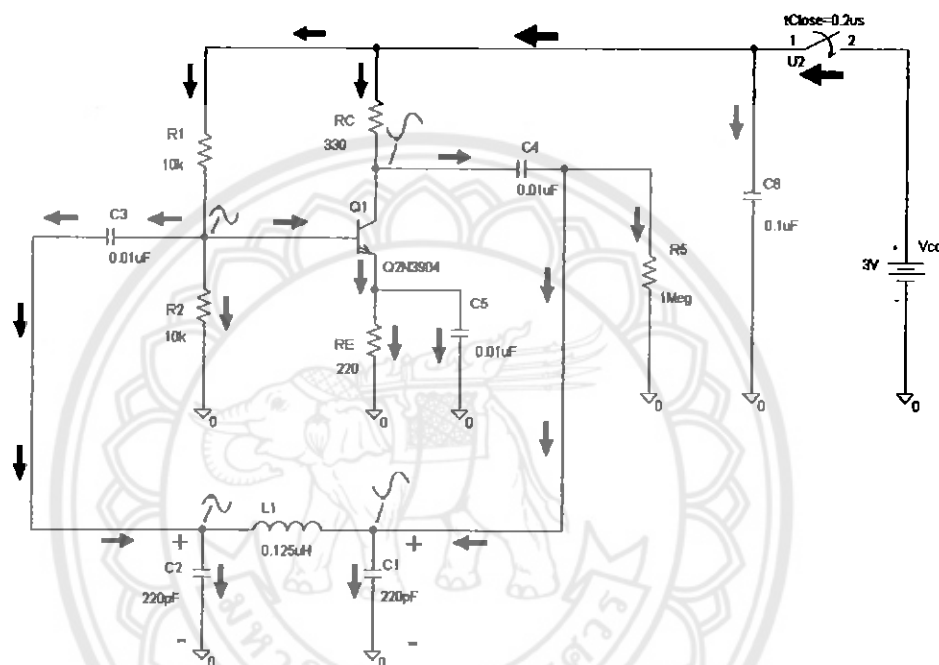


รูปที่ 5.7 แสดงวงจรسمีนขยะที่ทรานซิสเตอร์ยังไม่ทำงานและแสดงลักษณะการไฟลของกระ世家

ทำให้ C_2 และ C_1 เกิดการชาร์จประจุ ส่วน L_1 จะชาร์จกระ世家 ซึ่งขณะนี้ทรานซิสเตอร์ยังไม่ทำงาน

เมื่อ C_2 ชาร์จประจุจนได้แรงดันประมาณ 0.6 โวลต์ ซึ่ง ณ แรงดันนี้ทำให้ทรานซิสเตอร์ทำงาน จึงเกิดกระ世家ไฟหลักผ่าน R_E และ C_5 สู่กราว์ด ทำให้แรงดันด้านค่าน้อยเพิ่มค่าทางด้านบนนั่นคือ แรงดันที่ C_1 จะมีค่าลดลง ส่งผลถึงคักปีไฟฟ้าที่ L_1 ลดลง (แรงดันที่ C_2 น้อยกว่าแรงดันที่ C_1) กระ世家จึงไฟหลักจากขา B ของทรานซิสเตอร์ผ่าน C_3 เข้าสู่ L_1 (L_1 ดึงกระ世家กลับ) ดังรูปที่ 5.8

การไฟลอกลับของกระแสตั้งกล่าว ทำให้แรงดันที่ขา B ของทรานซิสเตอร์คลอง เป็นเหตุให้มีแรงดันด้านบวกที่ได้รับการขยายขนาดที่ด้านเอาต์พุต แล้ว C_1 ก็จะรับแรงดันนี้ไปทำให้ตัวไฟฟ้าที่ L_1 เพิ่มขึ้น กระแสก็จะไหลไปที่ขา B แรงดันที่ขา B จึงเพิ่มขึ้นแรงดันที่เอาต์พุต จะเป็นแรงดันทางด้านลบ แล้วเหตุการณ์เช่นนี้ก็จะดำเนินต่อไปจนกระทั่งวงจรเกิดการอิ่มตัวในเชิงแรงดันและกระแส ผลสุดท้ายจะได้สัญญาณไซน์ออกมายังรูปที่ 5.8



รูปที่ 5.8 แสดงลักษณะสัญญาณที่เปลี่ยนแปลงไปตามการทำงานของอุปกรณ์ในวงจร

5.2 สรุปผล

ในการสร้างวงจรอสซิลเลเตอร์แบบ โคลพิตต์ ซึ่งเป็นการใช้วงจร LC เข้ามาช่วยสร้างสัญญาณใหม่นั้น มีสิ่งที่จะต้องพิจารณาดังนี้

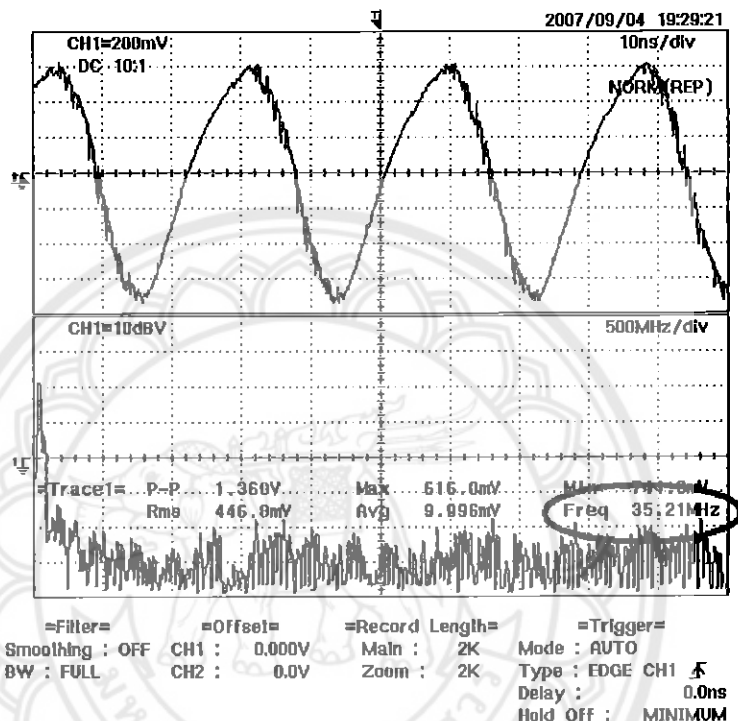
- ความถี่ของการอสซิลเลเตอร์ค่าเบื้องต้นอยู่กับอุปกรณ์ในวงจรแท้ที่ก็หรือวงจร LC โดยค่าความถี่มีความสัมพันธ์กับค่าของอุปกรณ์ดังนี้

$$f_0 = \frac{1}{2\pi} \sqrt{\frac{C_1 + (C_2 + C_s)}{L_1 C_1 (C_2 + C_s)}}$$

ค่าความถี่ที่ได้จากการคำนวณเมื่อจากสมการ (3.36) มีค่า f_0 เท่ากับ

$$f_0 = 42.27 \text{ MHz}$$

ค่าความถี่ที่วัดได้จากการตรวจดังรูปที่ 5.9 มีค่าเท่ากับ $f_0 = 35.21 \text{ MHz}$



รูปที่ 5.9 แสดงค่าความถี่ที่วัดได้จากการตรวจ

จะพบว่าความถี่ที่ได้จากการคำนวณมีนั้นมีค่าแตกต่างจากความถี่ที่ได้จากการวัด เท่ากับ $42.27 \text{ MHz} - 35.21 \text{ MHz} = 7.06 \text{ MHz}$ ทั้งนี้เนื่องจากอุปกรณ์ที่ใช้ในการทดลองซึ่งก็คือ C_1 , C_2 และ L_1 มีค่าความผิดพลาด

2. ค่า g_m ของวงจรขยายมีพอดหรือไม่ โดยค่าดังกล่าวต้องมากกว่าค่า g_m ที่คำนวณได้จากสมการต่อไปนี้ซึ่งเป็นค่าน้อยที่สุดที่วงจรสามารถทำงานได้

$$g_m = \omega_0^2 \left\{ R_3 C_1 (C_2 + C_\pi) + L_1 \left[\frac{C_1}{Z_i} + \frac{(C_2 + C_\pi)}{Z_o} \right] \right\} - \left(\frac{R_3}{Z_o Z_i} + \frac{1}{Z_o} + \frac{1}{Z_i} \right)$$

ค่า g_m ที่ได้จากการคำนวณเมื่อ จากสมการ (3.44) มีค่าเท่ากับ

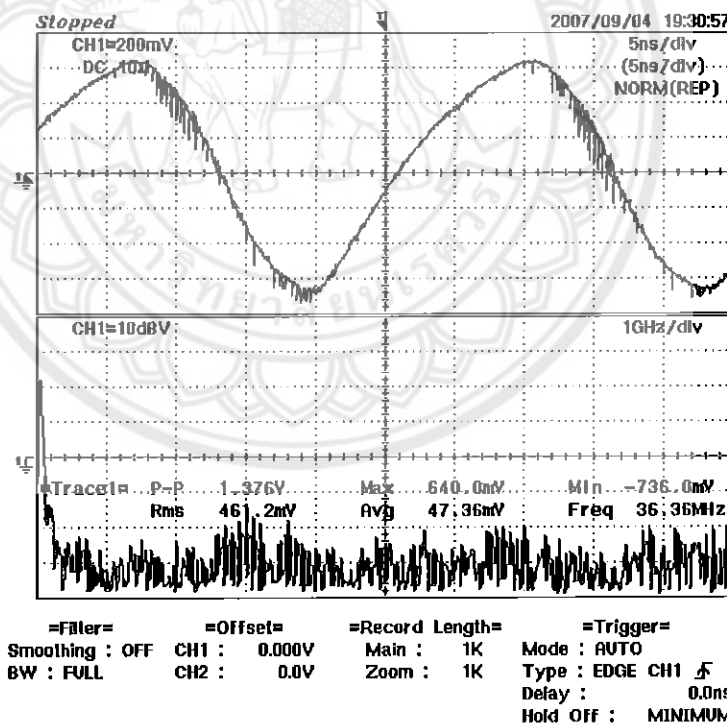
$$g_m = 6.4 \text{ mmho}$$

ค่า g_m ที่คำนวณได้จากการตรวจร่อง

$$g_m = 3.1 \text{ mmho}$$

จะพบว่าค่า g_m ที่ได้จากการคำนวณมีอนั้นมีค่าแตกต่างจากค่า g_m ที่คำนวณได้จากการตรวจร่อง เท่ากับ $6.4 \text{ mmho} - 3.1 \text{ mmho} = 3.3 \text{ mmho}$ ทั้งนี้เนื่องจากค่าความถี่จากการทดสอบเดดต์ที่วัดได้จากการตรวจร่องมีค่าเปลี่ยนไป

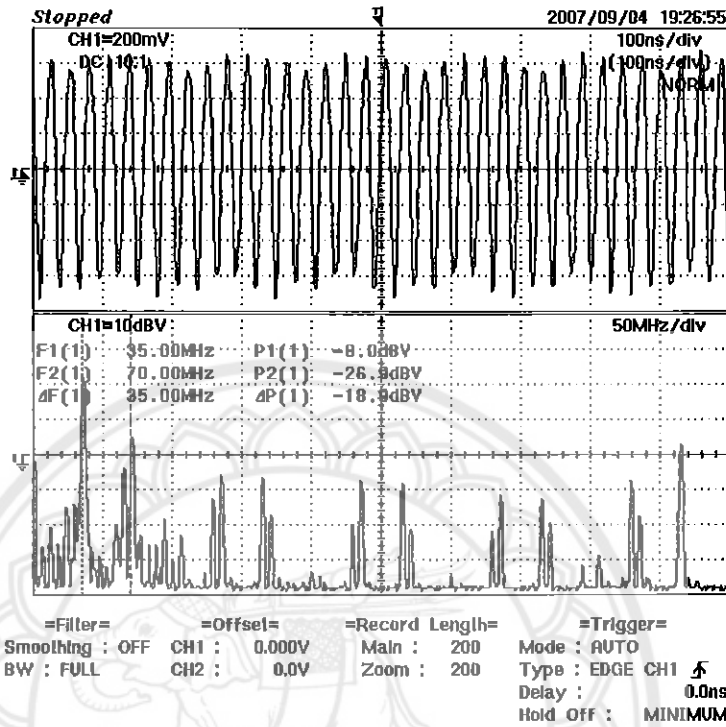
3. สำหรับวงจรในทางปฏิบัตินี้ จะสังเกตได้ว่าสัญญาณที่ได้มีลักษณะสัญญาณไซน์ที่เบี้ยไปทางขวา ซึ่งจะต้องหาวิธีปรับปุ่มรูปสัญญาณต่อไป



รูปที่ 5.10 สัญญาณที่วัดได้จาก R_s ที่มีลักษณะสัญญาณไซน์ที่เบี้ยไปทางขวา

4. สำหรับวงจรที่ใช้ทศสองนี้ ได้ใช้ตัวหนี่ยวน้ำหนาอย่างตัวมาต่อ กัน เพื่อให้ได้ค่าที่ต้องการผลที่ตามมาคือเกิดสัญญาณรบกวนที่เกิดขึ้นดังรูป 5.10 ซึ่งอาจจะต้องได้รับการแก้ไขด้วยการพันตัว

เห็นไขวนำขึ้นมาใหม่เพียงหนึ่งตัวหรือเพิ่มวงจรกรองสัญญาณที่สามารถกรองสัญญาณที่ความถี่ที่เราต้องการออกมายได้เพียงความถี่เดียว



รูปที่ 5.11 แสดงสัญญาณรบกวนที่เกิดขึ้นจากการใช้ตัวเห็นไขวนำหาลักษณะตามค่าอัน

เอกสารอ้างอิง

- [1] สิทธิชัย โภไ侃อุดม. วงศ์ปีองกลับแบบลับและออกแบบชิลเดอร์. กรุงเทพมหานคร : มหาวิทยาลัยเทคโนโลยีมหานคร, 2548.
- [2] มงคล ทองสังเคราะห์, อิเล็กทรอนิกส์เบื้องต้น, กรุงเทพฯ : ห้างหุ้นส่วนจำกัด วี.เจ. พรินติ้ง.
- [3] มงคล ทองสังเคราะห์, อิเล็กทรอนิกส์ 2, กรุงเทพฯ : ห้างหุ้นส่วนจำกัด วี.เจ. พรินติ้ง.
- [4] ไพรожน์ เหลืองวงศ์, “ออกแบบชิลเดอร์ ตอน 1.” เซมิคอนดัคเตอร์ อิเล็กทรอนิกส์. ฉบับที่ 297, มกราคม 2550. หน้า 203–209.
- [5] Paul R. Gray and Robert G. Meyer. **Analysis and Design of Analog Integrated Circuits.** 3rd ED.. John Wiley & Sons, Inc. 1942.
- [6] Integrated Publishing. “HARTLEY OSCILLATOR.” [Online]. Available: [http://www\(tpub.com/content/neets/14181/css/14181_81.htm](http://www(tpub.com/content/neets/14181/css/14181_81.htm)



ประวัติผู้ทำโครงการ



ชื่อ นายพรชัย แม่นเพชร
ภูมิลำเนา 210 ม.9 ตำบลโคกเดือย อำเภอไทรโยค จังหวัด
นครสวรรค์ 60220

ประวัติการศึกษา

- จบระดับมัธยมศึกษาจากโรงเรียนท่าตะโก พิทักษณ์ จังหวัดนครสวรรค์
- ปัจจุบันกำลังศึกษาในระดับปริญญาตรีชั้นปีที่ 5 คณะวิศวกรรมศาสตร์ สาขาวิชกรรมไฟฟ้า มหาวิทยาลัยราชภัฏ



ชื่อ นายณัฐพูด สุทธากิรินานนท์
ภูมิลำเนา 681/2 ม.6 ตำบลลินทร์บุรี อําเภอลินทร์บุรี จังหวัดสิงห์บุรี 16110

ประวัติการศึกษา

- จบระดับมัธยมศึกษาจากโรงเรียนสิงห์บุรี จังหวัดสิงห์บุรี
- ปัจจุบันกำลังศึกษาในระดับปริญญาตรีชั้นปีที่ 5 คณะวิศวกรรมศาสตร์ สาขาวิชกรรมไฟฟ้า มหาวิทยาลัยราชภัฏ